

Processos pathogenicos determinados pelos trematoides *Eurytrema fastosum* e *E. coelomaticum* *

(Dicrocoelidae)

pelos

Drs. C. Magarinos Torres e Cesar Pinto

(Com 12 estampas e 2 figuras no texto)

Em condições naturaes o *Eurytrema fastosum* (Kossack, 1910) infesta as vias biliares dos Felideos: *Felis catus domestica* e *Felis minuta*.

C. Pinto e J. Lins de Almeida (1935) referem as observações inéditas feitas no Instituto Oswaldo Cruz por J. L. de Almeida, H. Lent e Teixeira de Freitas sobre a presença deste trematoideo nas vias biliares do *furão* (*Grison vittatus*), proveniente dos arredores de Mangueinhos.

O *Eurytrema coelomaticum* (Giard & Billet, 1892) infesta os canaes excretores do pancreas de *Bos taurus* e as lesões por elle produzidas, são conhecidas graças ao interessante trabalho de C. Burle de Figueiredo (1928), o primeiro publicado sobre o assumpto, e, mais recentemente aos de Burggraff (1933) e C. Pinto & J. L. de Almeida (1935).

No Brasil, Cavalcanti Proença (1935) observou o *E. coelomaticum* no pancreas de *Capra hircus*, tres vezes num total de doze necropsias.

Muito pouco existe na literatura sobre as lesões produzidas pelo *Eurytrema fastosum*. De facto, a unica encontrada é o laudo de exame histopathologico realizado pelo Dr. Duncan, mencionado no trabalho de F. Ware (1923). Eil-o transcripto integralmente:

« The lesion is very like that caused by *Fasciola hepatica* in the sheep's liver. There is dilatation and great thickening of the bile ducts, with a definite catarrh of the wall, and proliferation of the mucosa with some masses of epithelium detached — probably an attempt at formation of new ducts. Outside the bile

* Recebido para publicação a 14 de Maio de 1936 e dado a publicidade em Outubro de 1936.

«ducts there is a good deal of congestion with fibrosis of all «portal spaces. There is some fatty infiltration but no calcareous «changes».

LESÕES PRODUZIDAS PELO *EURYTREMA FASTOSUM*

Examinando 22 gatos domesticos, encontramos 36 % parasitados por *E. fastosum*.

As lesões foram estudadas em 7 gatos infestados em condições naturaes, provenientes de uma mesma região dos arredores da cidade do Rio de Janeiro (Bomsucceso e Manguinhos).

A infestação verificada nos animaes de nossa serie era pequena, sendo 12 o numero maximo de *E. fastosum* colhidos em um mesmo figado.

Levando em conta essa circunstancia, achamos possivel que lesões diferentes das que passamos a descrever, tanto em extensão, como em natureza, ocorram em animaes com mais intenso parasitismo.

Dois gatos provenientes de zona onde a eurytremose hepatica não é enzootica, forneceram material histologico para comparação.

O exame externo do figado infestado não mostra nenhuma lesão apreciavel. A capsula é lisa e brilhante, a superficie de todos os lóbos é regular, não existindo cystos, nem nodulos estranhos ao tecido, nem aumento do tecido conjuntivo. A unica modificação do normal é encontrada, macroscopicamente, em cõrtes do tecido hepatico, ao nível dos espaços-porta de maiores dimensões. Consta de um espessamento das paredes do conducto biliar intra-hepatico (Fig. 1, b) ahi existente, o qual se torna mais conspicuo no respectivo espaço-porta. A lesão é bem patente quando comparada lado a lado, com cõrtes de figado normal de gato. Do interior dos conductos biliares intra-hepaticos espessados sahem, espontaneamente, exemplares de *Eurytrema fastosum* quando os cõrtes recentes de figado fresco são deixados, durante algum tempo, expostos ao ar (Fig. 1, a).

Nenhum helmintho existe no tecido hepatico fóra dos conductos biliares intra-hepaticos.

Em um gato da serie que examinamos, a vesicula biliar continha 3 exemplares de *E. fastosum*, nenhuma modificação pathologica sendo notada em seu aspecto externo.

Em determinado ponto da espessura do parenchyma de um dos figados examinados existia uma formação kystica medindo 4 por 3 milimetros de diametro, parecendo macroscopicamente, um cystoma multilocular de pequenas cavidades (Fig. 23). Ao microscopio, as cavidades

são revestidas por epithelio cubico, em geral simples, em alguns pontos, porém, com nucleos dispostos em duas ou tres fileiras. Nenhuma concreção biliar é encontrada em seu interior, contendo apenas liquido seroso. É provavel que tales estructuras representem um cystoma multilocular congenito e dependam, assim, de alterações do desenvolvimento dos conductos biliares intra-hepaticos. Esta alteração não é rara no fígado do homem e de outros mammiferos, associando-se, muitas vezes, a alterações semelhantes dos tubos uriniferos. Outra possibilidade é a de que representem kystos simples de retenção dos conductos biliares. Ainda outra hypothese, pouco provavel, é a de que tales formações estejam associadas ao parasitismo do fígado pelo *Eurytrema fastosum*. No interior de tales kystos não se encontram, com effeito, nem ovos, nem exemplares deste helminho.

O estudo microscopico confirma o que já havia indicado o exame macroscopico: as lesões são circumscripas a alguns espaços-porta, e nelas interessam, de modo dominante, os canaes biliares.

O chorion dos canaes biliares é espessado como consequencia de hyperplasia de tecido conjuntivo e de infiltração discontinua por mononucleares e leucocytos polymorphonucleares (Figs. 3, 4, 5, 6 e 7).

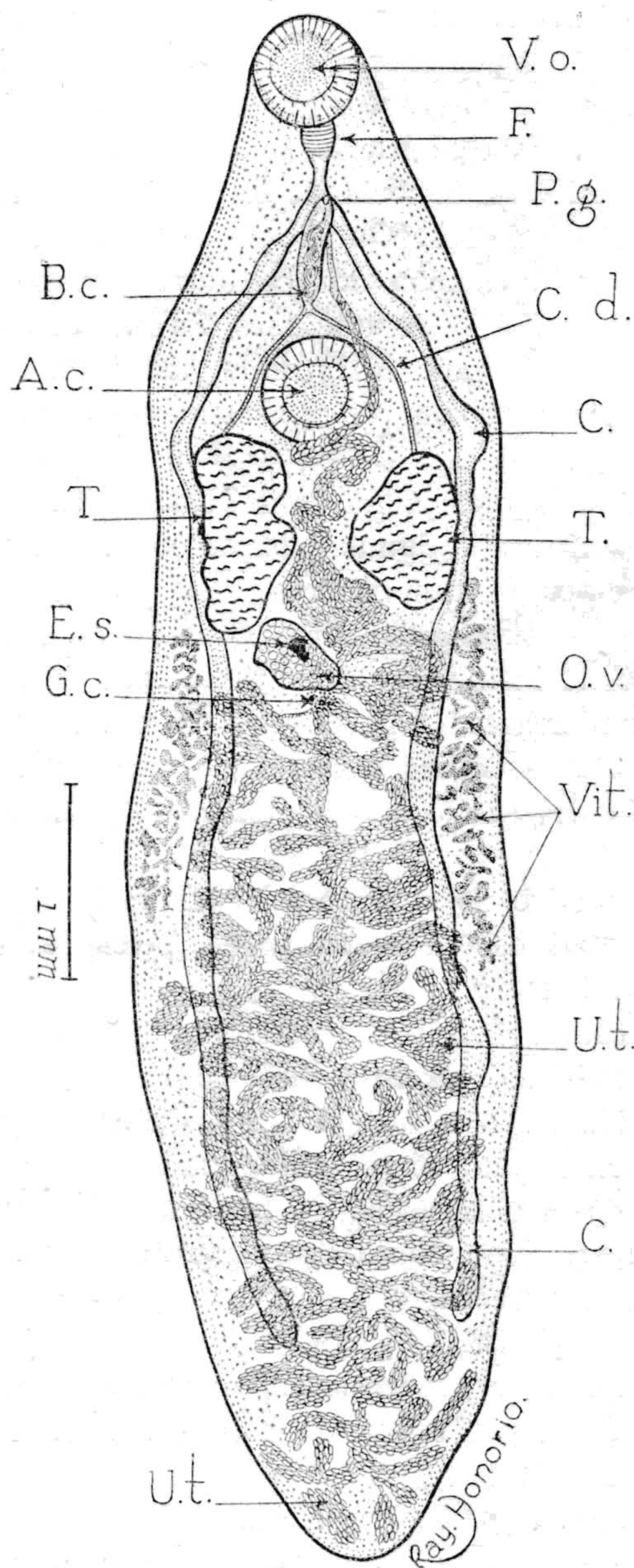
As glandulas biliares ou cryptas mucosas annexas ao canal biliar apresentam dilatação de sua cavidade, sendo augmentadas de numero (Figs. 3, 4, 5, 6 e 7).

A hyperplasia de tecido conjuntivo do chorion e hyperplasia glandular dos canaes biliares são as modificações responsaveis pelas lesões macroscopicas representadas na Fig. 1, em b.

Quando o corte histologico comprehende o trematoide (Figs. 3 e 6) nota-se que este é sempre separado das paredes do canal biliar, por um espaço mais ou menos consideravel. Isso leva á suposição de que o helminho seja capaz de movimentos, até certo ponto, amplos dentro do canal biliar. Isso é corroborado pela observação do material a fresco. Se assim é, o helminho não exercerá uma compressão permanente sobre as paredes do canal biliar que o encerra.

Outro detalhe apparente nos cortes histologicos, é a completa ausencia de ovos do trematoide, quer no espaço que separa o helminho da parede do canal biliar, quer na propria espessura da parede do canal biliar (Figs. 3, 4, 5, 6 e 7).

Vê-se, em alguns espaços-porta (Figs. 3, 5 e 7), ao lado do canal biliar com as lesões acima descriptas, um ou mais nodulos com a aparence de folliculos lymphoides. Examinados com maior aumento, mostram-se formados por conductos glandulares de 75 a 120 micra de diametro, revestidos por um epithelio simples de 25 micra, cuja mem-



Eurytrema fastosum (Kossack, 1910) agente etiologico da eurytremose hepatica dos felideos; Segundo C. Pinto, 1935. O Campo, 6 (10): 50 fig. 1.

V. o. = ventosa oral.

F. = pharynge.

P. G. = pôro genital.

B. c. = belsa do cirro.

A. c. = acetabulo.

C. d. = canal deferente.

C. = caecum.

T. = testiculos.

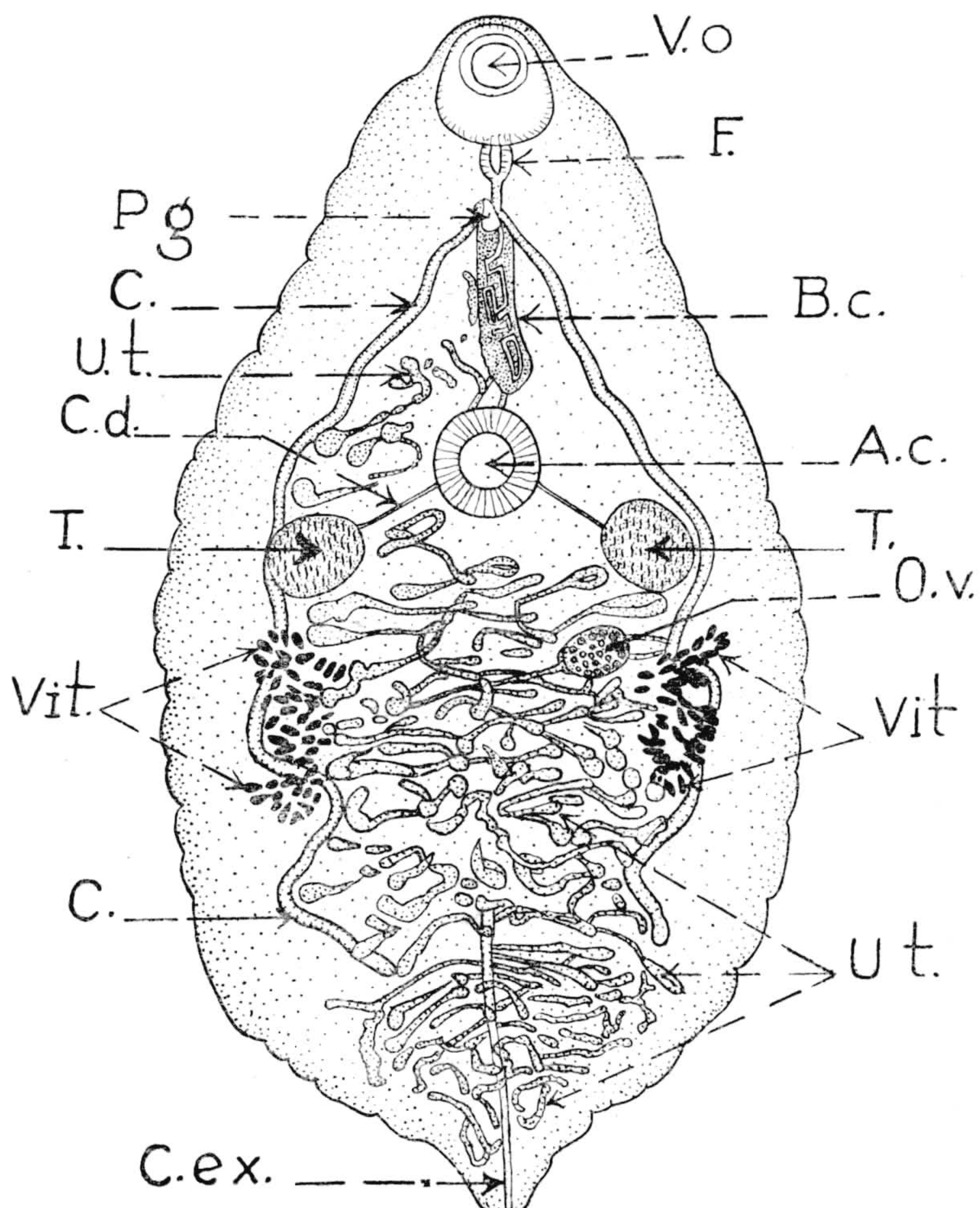
O. v. = ovario.

E. s. = espermatheca.

G. c. = glandula da casca.

Vit. = vitellinos.

U. t. = utero.



Eurytrema coelomaticum (Giard & Billet, 1892), agente etiologico da eurytremose dos bovinos do Brasil. Segundo Lauro Travassos 1918. Rev. Veter. & Zootechnia.

Rio de Janeiro, t. 7. n. 1. p. 14.

V. o. = ventosa oral.

F. = pharynge.

P. g. = póro genital.

B. c. = bolsa do cirro, vendo-se o cirro.

C. = caecum.

U. t. = utero.

A glandula da casca não está representada.

A. c. = acetabulo.

C. d. = canal deferente.

T. = testiculos.

O. v. = ovario.

Vit. = vitellinos.

C. ex. = canal excretor.

brana conjunctiva ou parede propria é consideravelmente infiltrada por mononucleares, em sua maioria lymphocytos (Fig. 8).

Na luz de tales estructuras glandulares não são encontrados ovos do helmintho. A sua identificação offerece duvidas relacionadas com a significação ainda obscura das cryptas mucosas ou glandulas biliares que se abrem na superficie interna dos conductos biliares.

No gato normal, as cryptas mucosas, afastando-se da luz do canal biliar, pôdem atravessar a parede propria, vindo a ocupar zona vizinha da parede externa do canal biliar (Fig. 9 a). Outras vezes, conforme mostra a Fig. 10 em a, vê-se tubos glandulares de trajecto mais ou menos rectilineo, situados na vizinhança immedia da canal biliar, correspondendo, evidentemente, a canaes biliares interlobulares.

Tales aspectos sugerem que as cryptas mucosas da superficie interna dos conductos biliares, cuja função é obscura, representem de facto, pelo menos algumas delas, o trajecto de união (ampolas terminaes?) entre o canal biliar propriamente dito e os canaes biliares interlobulares.

Seja como fôr, ou cryptas mucosas, ou canaes interlobulares, as formações glandulares contidas nos nodulos inflamatorios dos espaços-porta representam vias biliares proximas do canal biliar propriamente dito onde está alojado o trematoide, mas nas quae este não poderia penetrar, em virtude das exiguis dimensões de sua cavidade.

No nosso material não encontramos congestão com fibrose de todos os espaços-porta, nem infiltração gordurosa, segundo refere F. Ware (1923).

LESOES PRODUZIDAS PELO *EURYTREMA COELOMATICUM*

Parreiras Horta (1918) assignala a existencia da eurytremose pancreatica em bovinos do Brasil, chamando a attenção para a frequencia e a intensidade de infestaçao, mesmo em animaes novos. Assim, em um bezerro necropsiado, poude colleccionar 98 exemplares de *E. coelomaticum* em fragmento de pancreas que correspondia a um terço do total do orgão. Verifica, ainda, a frequencia de glycosuria em bovinos da região onde era intensa a infestaçao pelo *Eurytrema coelomaticum*.

C. Burle de Figueiredo (1928) descreve um processo de pancreatite intersticial chronica produzida pelo *E. coelomaticum*. Na maior parte do material, notou proliferação do tecido conjuntivo, acarretando a destruição dos acini glandulares com conservação das ilhotas de Langerhans, e infiltrações lymphocytarias. Este aspecto era observado ao redor dos pontos onde são encontrados os parasitos, como tambem, em reacção em torno dos ovos, que se acham no parenchyma pancreatico.

Taes lesões são confirmadas por C. Pinto e J. Lins de Almeida (1935).

Burggraff (1933) estudando as lesões produzidas pelo *Eurytrema pancreaticum* no gado bovino proveniente do Japão e outros paizes, assinala a dilatação dos ductos pancreaticos maiores com espessamento, proliferação da mucosa e hyperplasia do tecido glandular. Occorrem, ainda, fócos necroticos encerrando ovos do helmintho.

Obtivemos material fresco de pancreas de boi infestado pelo *Eurytrema coelomaticum*. As lesões macroscopicas parecem circumscriptas aos canaes interlobulares cujas paredes são espessadas (Fig. 24, a). Os lobulos pancreaticos entre elles comprehendidos apresentam aspecto macroscopico normal. Os cortes histologicos revelam que, além das lesões inflamatorias observadas nos canaes interlobulares, tambem ocorre um processo de pancreatite instersticial chronica interessando, porém, unicamente, os lobulos na vizinhança immediata dos canaes interlobulares lesados.

Considerando as lesões microscopicas devemos distinguir, de um lado, as produzidas pelo proprio trematoide, e, de outro, as pelos seus ovos.

Os canaes interlobulares de medio e de grande calibre onde está alojado o helmintho, apresentam-se dilatados (Fig. 11). Em grande extensão perderam elles o seu epithelio de revestimento (Figs. 13, 17, 18 e 19). Quando o epithelio está conservado, é simples e achatado (Fig. 11). Completam o quadro histologico, o espessamento da parede conjuntiva do canal, bem como infiltração, por vezes consideravel, por celulas mononucleares (Figs. 13, 17, 18 e 19).

Em torno de taes canaes assim lesados, existe proliferação do tecido conjuntivo. Este, ordinariamente mais abundante em torno do canal interlobular inflammando, e, assim, interlobular em sua distribuição, não raro invade os proprios lobulos, determinando atrophie secundaria e desapparecimento do tecido glandular em zona extensa de um lobulo pancreatico (Fig. 12).

Verificamos moderada hyperplasia dos canaes intralobulares na zona onde a fibrose é mais extensa e mais intensa foi a destruição dos acini glandulares e ilhotas de Langerhans (Fig. 11).

Outro processo pathologico que verificamos no nosso material, foi a obliteração dos canaes pancreaticos como consequencia do desenvolvimento de um granuloma inflamatorio em sua parede interna (Figs. 14, 15 e 16).

Tal obliteração pode ser parcial (Figs. 14, 15), ou total (Fig. 16). Neste ultimo caso, o proprio reconhecimento do canal obliterado oferece, por vezes, dificuldade.

Os canaes excretores do pancreas obliterados são aquelles nos quaes o trematoide não mais é encontrado. Além de consideravel espessamento da parede conjunctiva e infiltração mononuclear, nota-se o aparecimento de numerosas cellulas epithelioides (Figs. 14 e 15). Estas se collocam, todas, na parte mais interna da parede do canal, em torno da luz obliterada (Figs. 14 e 15). Em certos casos, dispondo-se paralelamente umas ás outras e perpendicularmente á luz do canal, affectam uma curiosa disposição em « pallissada » (Fig. 15). Outras vezes tambem ahi se encontram cellulas gigantes, não raro incluindo, em seu cytoplasma, ovos do helmintho.

A permanencia anterior do helmintho em taes canaes, em parte, obliterados, é atestada pela presença de ovos na sua luz, e, principalmente, de outros enclausurados em sua propria parede (Figs. 14 e 15).

Quando a obliteração do canal é mais avançada, as cellulas epithelioides não apresentam mais a disposição em « pallisada »; preenchendo a antiga luz do canal, offerecem arranjo irregular (Fig. 16) tal como, ás vezes, se vê em um folliculo tuberculososo.

As lesões produzidas pelos ovos do helmintho constam de pronunciada infiltração lymphocytaria (Figs. 16 e 20) e formação de cellulas gigantes de corpo estranho.

Não confirmamos a associação de ovos do helmintho a focos necroticos, tal como menciona Burggraaff (1933). Sempre notamos um exsudado lymphocytario, e, mais raramente, cellulas gigantes do tipo de corpo estranho, na vizinhança immediata dos ovos enclausurados no tecido pancreatico. Os lymphocytos são tanto mais numerosos quanto maior numero de ovos existentes no local (comparar a fig. 16 á fig. 20).

Que os tecidos da parede do canal excretor pôdem sofrer succão e possivel arrancamento pelas ventosas do trematoide, mostra a figura 13.

ACÇÃO PATHOGENICA

É particularmente instructivo o estudo comparativo das lesões produzidas pelos dois trematoides aqui referidos, ambos pertencendo ao genero *Eurytrema* Looss, 1907.

* Ambos teem o seu *habitat* em canaes glandulares: canaes biliares, e, tambem, vesicula biliar de felideos e mustelideos (*Eurytrema fastosum* Kossack, 1910); canaes excretores do pancreas de bovinos, caprinos, etc. (*Eurytrema coelomaticum* Giard & Billet, 1892).

Comtudo é bem diverso para a glandula que os abriga, o resultado final da infestaçao por taes trematoides.

O exame macroscopico do figado de felideos infestados mal deixa perceber lesões. O proprio parenchyma hepatico é poupadão. As lesões

inflammatorias chronicas permanecem limitadas ao canal biliar onde o helmintho se acha contido, e, quando muito, ás vias biliares mais proximas (Fig. 7).

O exame microscopico confirma o aspecto macroscopico. Mostra, ainda mais, que a postura do *E. fastosum* encontra, apparentemente, facil escoamento e eliminação pelas vias biliares dos felideos. Não são encontrados ovos na luz dos canaes biliares examinados em cortes histologicos, e, ainda menos, na espessura do parenchyma hepatico (Figs. 3 e 6).

Isso é devido á relativa facilidade de movimentos do trematoide dentro dos canaes biliares, conforme sugere a observação do material a fresco. Evidentemente a desproporção entre as dimensões do helmintho e a dos canaes que os abrigam não é tal que occasione a sua occlusão, de maneira accentuada (Fig. 6). O exame microscopico vem em apoio dessa idéa, pois revela, na maioria dos casos, a perfeita conservação do epithelio de revestimento dos canaes biliares, quer naquelles contendo actualmente o helmintho (Figs. 3 e 6), quer nos que apresentam lesões inflammatorias chronicas ligadas á presença anterior do trematoide (Figs. 4, 5 e 7).

A facilidade de eliminação da postura do *E. fastosum* tem, na nossa opinião, grande importancia, explicando a accão pathogenica pouco accentuada por elle exercida.

Vejamos, agora, o que ocorre no pancreas de bovino infestado pelo *E. coelomaticum*.

Ahi as lesões microscopicas pódem ser consideraveis, conduzindo á destruição parcial de lobulos do orgão.

O exame microscopico revela que, não só os canaes onde o helmintho se abriga são lesados, como o tecido glandular, por vezes na totalidade de um lóbulo pancreatico, é desapparecido e substituido por tecido fibroso (Fig. 11 e 12).

As lesões das paredes dos canaes pancreaticos são bem mais intensas que as dos canaes biliares dos felideos. A maioria desses conductos glandulares perdeu o seu epithelio de revestimento (Figs. 13, 17 e 18). Quando elle existe, mostra-se achataido como consequencia de compressão (Fig. 11). A obliteração completa desses canaes é frequentemente observada (Fig. 16).

O que, porém, mais distingue as lesões do pancreas de bovino das do figado de felideo, é a abundancia de ovos do helmintho no pancreas. Uns são contidos na luz do canal pancreatico, intromettidos entre o trematoide e a parede interna do ducto excretor (Fig. 17). Outros

acham-se enclausurados no proprio tecido pancreatico (Figs. 16, 18, 19 e 20).

É nossa convicção que a penetração dos ovos do helmintho na espessura dos tecidos do pancreas, se effectua de duas maneiras.

Em uma dellas, os ovos existentes na espessura do tecido pancreatico correspondem á cavidade de um antigo canal excretor, agora completamente obliterada. Descrevemos, atraç, como tal obliteração se processa em consequencia de curioso granuloma inflammatorio desenvolvido na parede interna do canal excretor.

Em outra maneira, mais interessante, a penetração se effectua por um mecanismo, por assim dizer, activo.

A postura do trematoide encontra difficil escoamento pelos canaes panceaticos. Como resultado disso, os ovos se accumulam, por vezes, em grande numero, no interior dos canaes, entre a sua parede interna e o helmintho (Fig. 17).

A dificuldade de escoamento da postura é explicavel pela occlusão parcial das vias pancreaticas pelo *E. coelomaticum*, occlusão essa certamente mais accentuada aqui do que a das vias biliares do gato pelo *E. fastosum*. Mais accentuada a occlusão, menor o espaço de que dispõe o *E. coelomaticum* para effectuar os seus movimentos (comparar as Figs. 6 e 11), e mais forte a compressão por elle exercida sobre as paredes internas do ducto glandular.

Nada mais natural do que admittir que a compressão e o attricto causados pelo *E. coelomaticum* sobre as paredes do canal excretor do pancreas sejam capazes de fazer nellas penetrar, em consequencia dos movimentos activos do helmintho, os minusculos corpos estranhos representados pelos ovos.

É o que sugere, claramente, o exame das figuras 17, 18 e 19. Na figura 17 a, vemos ovos accumulados no espaço interposto entre o trematoide e a parede interna do canal excretor. Nas figuras 17, 18 e 19 vemos ovos em phase inicial de penetração; na Fig. 19, a, uma das faces do ovo ainda faz saliencia na cavidade do canal; na Fig. 19, b, o ovo, superficialmente collocado, é envolvido por tecido inflammatorio.

Esse processo de penetração mechanica e enclausuramento offerece certa analogia com o que se passa quando fazemos penetrar, deliberadamente, pela compressão sobre elles exercida, as sementes de um vegetal, na superficie de um sólo préviamente humectido e aplinado.

Concluindo, devemos dizer que as nossas observações sobre *E. fastosum* e *E. coelomaticum*, nos levam a reconhecer como *factor primordial* na acção pathogenica por elles exercida, a desproporção entre o

volumen dos helminthos e a capacidade dos canaes glandulares por elles infestados.

Desse factor principal decorrem, como consequencia directa, todos os demais *factores secundarios* que enumeraremos a seguir:

1) *compressão dos canaes glandulares* dando logar a um processo inflammatorio chronico desenvolvido em suas paredes (no *E. fastosum*). Quando accentuada a compressão (no *E. coelomaticum*), ás lesões inflammatorias chronicas da perede do canal se associam á perda do epithelio de revestimento e á formação de um granuloma inflammatorio na superficie interna de suas paredes.

2) *obliteração parcial ou total* dos canaes glandulares. A obliteração é *transitoria*, quando devida á presença do proprio trematoide, ou *permanente*, quando ligada a processos pathologicos desenvolvidos nas paredes dos canaes glandulares.

3) *retenção da postura* do trematoide e *penetração dos ovos* nos tecidos da glandula infestada. São ellas a consequencia da obliteração dos canaes excretores.

A presença de ovos nos tecidos da glandula algumas vezes é explicavel pela obliteração de canaes glandulares nos quaes elles, primitivamente, se achavam contidos.

Outras vezes, como no caso do *E. coelomaticum*, ella se realisa em consequencia de movimentos activos do helmintho: os ovos são recalcados de encontro ás paredes internas do ducto glandular, e forçados em sua espessura, resultado esse favorecido pela descamação do epithelio de revestimento e inflamação dos tecidos no local.

Uma vez introduzidos nos tecidos, os ovos dos trematoides, como corpos estranhos que são, dão logar a um processo inflammatorio no qual domina a infiltração lymphocytaria. A dificuldade de eliminação desses corpos estranhos explica o caracter chronico de taes lesões directamente produzidas pelos ovos.

Será interessante investigar se esses mesmos factores estarão em causa a propósito de outros trematoides e se elles, desse modo, terão ou não applicação geral a esse grupo de parasitos.

Ao Prof. L. Travassos muito agradecemos o material posto á nossa disposição.

CONCLUSÕES

1. O *Eurytrema fastosum* determina, no figado do gato domestico, um processo inflamatorio chronico estrictamente limitado a alguns espacos-porta, nelles interessando, de modo dominante, os canaes biliares (*cholangite chronica*).

O seu epithelio de revestimento é conservado, sendo o *chorion* dos canaes biliares espessado em virtude de hyperplasia de tecido conjuntivo e de infiltração discontínua por mononucleares e polymorphonucleares. A essas lesões se associam a dilatação e hyperplasia das cryptas mucosas annexas ao canal biliar, e a producção ocasional de lymphomas com hyperplasia glandular em sua porção central.

A postura do helmintho encontra, apparentemente, facil escoamento pelos canaes biliares.

2. O *Eurytrema coelomaticum*, muito commum no pancreas dos bovinos brasileiros, produz accentuadas alterações inflamatorias nos canaes interlobulares com espessamento de suas paredes.

A obliteração e obstrucção desses canaes pôde ser o resultado de curioso granuloma desenvolvido na superficie interna de suas paredes.

Em relação com as lesões inflamatorias acima desenvolvidas, observa-se uma pancreatite intersticial chronica, mais accentuada na vizinhança dos ductos pancreaticos alterados. O tecido conjuntivo neo-formado apresenta uma distribuição interlobular predominante. Em alguns casos, porém, é tambem interacinosa, acarretando atrophia secundaria do parenchyma glandular. O processo de fibrose pôde interessar, então, areas mais ou menos consideraveis de um lóbulo pancreatico.

Consecutiva á obliteração e obstrucção dos ductos pancreaticos, ocorre dificuldade de escoamento da postura do *E. coelomaticum* e consideravel accumulo de ovos na luz dos canaes e em suas paredes. Mais tarde os ovos se alojam no parenchyma glandular dando origem a accentuada infiltração lymphocytaria e leve fibrose.

Assinalamos curioso mecanismo na penetração dos ovos do *E. coelomaticum*: em consequencia de movimentos activos do helmintho, os ovos, recalcados de encontro ás paredes internas do ducto glandular, são forçados em sua espessura, sendo esse resultado favo-

recido pela descamação do epithelio de revestimento e condições inflammatorias locaes.

3. Os factos observados a proposito do *Eurytrema fastosum* e *E. coelomaticum* sugerem que o *factor primordial* na accão pathogenica por elles exercida é a *desproporção entre o volume do trematoide e a capacidade dos canaes glandulares* por elles infestados. Quanto maior essa desproporção, tanto mais pronunciadas as lesões provocadas.

Desse factor primordial dependem todos os demais *factores secundarios*, assim enumerados:

- a) *compressão dos canaes glandulares e inflamação chronica de suas paredes.*
- b) *obliteração parcial ou total, transitoria ou permanente dos ductos glandulares, por vezes consecutiva ao desenvolvimento de um granuloma inflamatorio na superficie interna de suas paredes.*
- c) *retenção da postura do trematoide e penetração dos ovos nos tecidos da glandula infestada. Os ovos actuam como corpos estranhos de difficult elimination, e dão logar a processo inflamatorio chronico de longa permanencia.*

CONCLUSIONS

1. Chronic inflammatory changes in some of the interlobular bile-ducts (*chronic cholangitis*) may be the only change induced by *Eurytrema fastosum* in cats.

The lining epithelium of the excretory channels is fairly well preserved. The fibro-elastic coat is thickened; the new formed connective-tissue is usually dense and firm, but it occasionally contains many wandering cells (polymorphonuclear leucocytes and cells derived from the lymphocyte series). Those changes may be associated to dilatation and hyperplasia of the biliary glands or mucous crypts adjoining the interlobular bile-ducts. In addition small lymphomas with hyperplastic glandular tissue in its central portion may occur in the thickened wall of the interlobular bile-ducts.

Oviposition is followed apparently by complete elimination of the eggs through the biliary apparatus. No eggs are to be found

either in the lumen, or in the walls of the bile-ducts in sections of the liver.

2. *Eurytrema coelomaticum*, a very common trematode in the pancreas of Brazilian cattle, gives rise to marked inflammatory changes in the interlobular ducts with thickening of their walls. Obliteration and obstruction of such structures may occur as a consequence of a curious granuloma with «pallisade» arrangement of epithelioid cells developed in the free surface of the ducts.

Chronic interstitial pancreatitis more marked in the vicinity of the pancreatic ducts is seen in connection with the inflammatory changes just reported. Most of the new-formed connective tissue is interlobular in distribution. Sometimes it may be interacinar as well, and associated with secondary atrophy of the gland parenchyma. In such cases by the extension of the fibrosis, large areas of the pancreatic lobules may become involved.

As a result of obliteration and obstruction, enormous numbers of eggs may be found either in the lumen or in the walls of the pancreatic ducts. Sooner or later the eggs become logged in the gland parenchyma giving rise to marked lymphocytic infiltration, giant-cell formation and slight fibrosis.

A curious operation leading to the penetration of eggs in the gland parenchyma is here reported: the eggs may be strongly compressed against the free surface of the pancreatic ducts by the living fluke so that at length they may become gradually incorporated into the tissues of the walls themselves. Desquamation of the lining epithelium and local inflammation create conditions favorable to this more or less active penetration of eggs.

3. In view of the findings obtained from a study of the pathology of *Eurytrema fastosum* and *E. coelomaticum*, the suggestion is put forward that the chief factor concerned in the pathogeny of such flukes is the lack of correlation between the size of the worm himself and the capacity of the canals in which they are located. There is a close relationship between the extension of pathological changes and the degree in which such lack of correlation do exist.

The secondary factors mainly concerned in this respect may be summarized as follows:

- a) compression of glandular ducts and chronic inflammatory changes in their walls.

- b) partial or total, transient or permanent *obliteration* of glandular ducts, sometimes as the result of a granuloma developing in their free surface.
- c) *accumulation of eggs* in compressed glandular ducts followed by *deposition of eggs* in the gland parenchyma.

The eggs as foreign bodies not easily removed are apt to induce a persistent or chronic inflammatory process.

BIBLIOGRAPHIA

BURGGRAFF

1933. Tijdskr. v. Dierg. **60** (23) : 1267-1282. Ref. in Helminthol. Abst. 1934, **2** (4) : 142.

FIGUEIREDO, C. BURLE DE

1928. Sobre as lesões do pancreas de boi produzidas pelo *Eurytrema pancreaticum*. Supl. Mem. Inst. Osw. Cruz. **3**. Figs. 1-4.

HORTA, P. P.

1918. Distomatose pancreatica e glycosuria em bovinos. A Lavoura **22** (3 e 4) : 157-8.

MÖNNIG, H. O.

1934. Veterinary Helminthology and Entomology. London. p. 31. fig. 6.

PINTO, C. & ALMEIDA, J. L. DE

1935. Sinopse dos helmintos dos animais domesticos do Brasil. O Campo. Rio de Janeiro. **6** : 60.

PINTO, C.

1935. Variações morfológicas observadas no *Eurytrema fastosum* (Kossack, 1910). Trematoda. Dicrocoelidae. O Campo. Rio de Janeiro. **6** (10) : 50-52. Figs. 1-10.

PROENÇA, CAVALCANTI

1935. Notas de Helminthologia Veterinaria. Bol. Vet. do Exercito. **2** (12) : 274-5.

PURVIS, G. B.

1933. On the apparent non pathogenicity of the trematodes *Eurytrema pancreaticum* (Janson, 1889) and *Platynosomum concinnum* (Braun, 1901). Veterinary Record. **13** (42) : 1063-4. Ref. in Helminthol. Abstr. **2** (4) : 143. 1934.

TRAVASSOS, L.

1918. Helmintos parasitos de animais domesticos. 1. Rev. Vet. & Zootecnia. Rio de Janeiro. **7** (1) : 10. Fig. 4.

WARE, F.

1923. Some Members of the family *Dicrocoelidae* affecting domestic animals. The Jour. Comp. Pathol. & Ther. Edinburgh. **36** (1) : 33-39. Figs. 1-6.

Estampa 1

Fig. 1 — Figado de gato domestico com infestação por *Eurytrema fastosum*. Vê-se o helmintho (indicado pela seta em *a*) no interior de um canal biliar intra-hepatico e em *b* espessamento das paredes de canaliculos biliares nos espaços-porta. Orig.

Fig. 2 — Espaço-porta em corte de figado de gato domestico normal. $\times 45$. Orig.

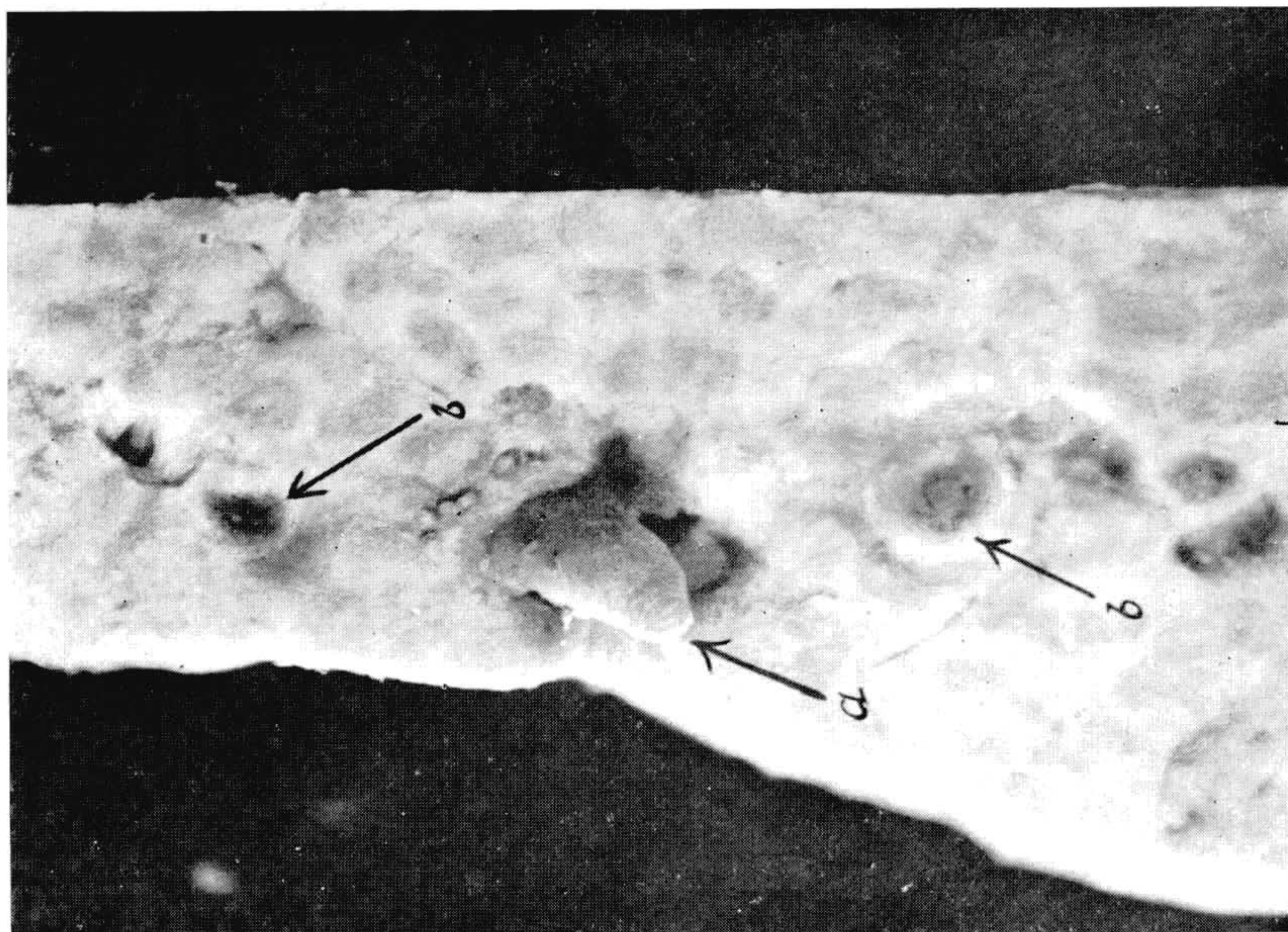


Fig. 1

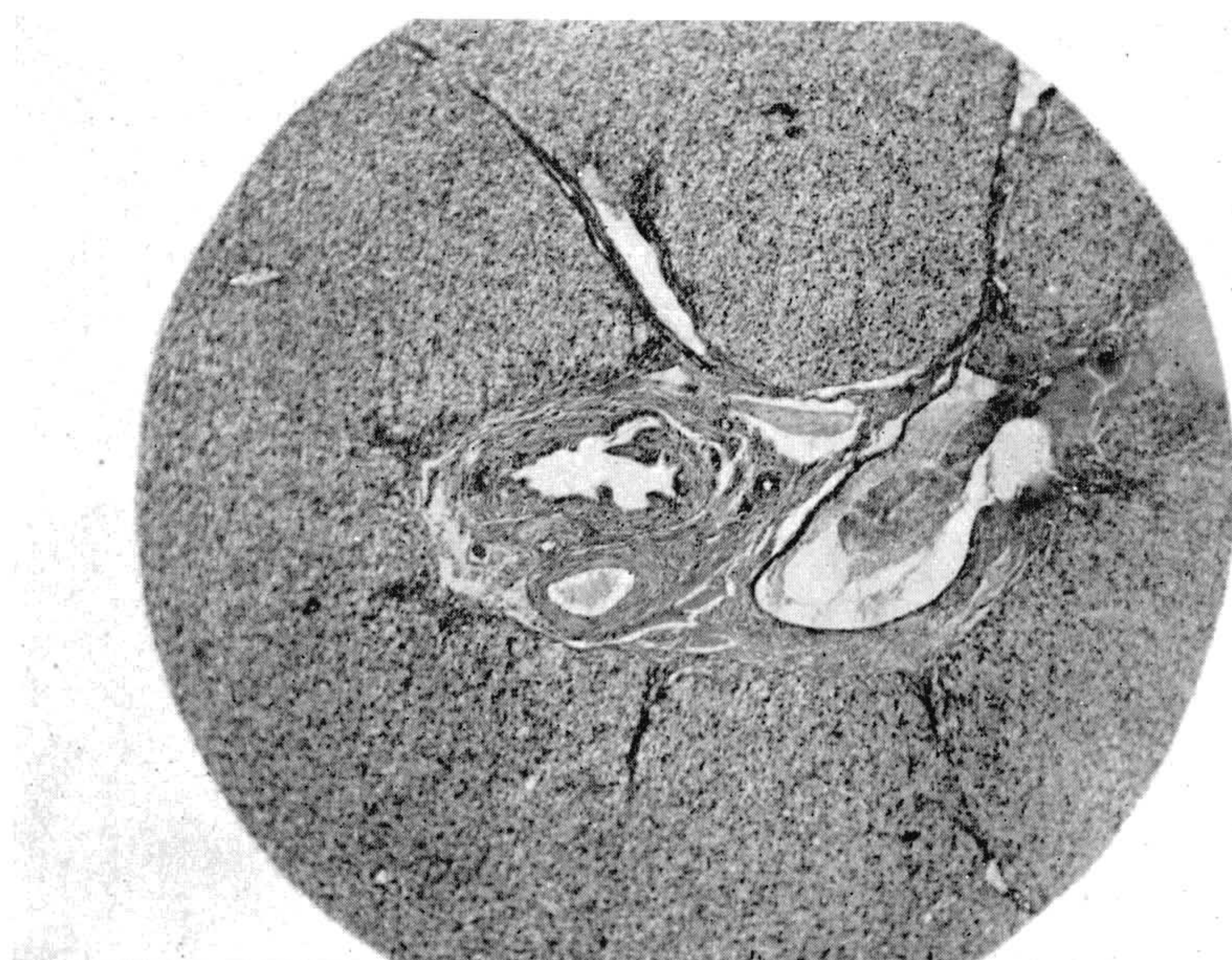


Fig. 2

J. Pinto, photomicro.

Estampa 2

Fig. 3—Espaço-porta em corte de fígado de gato infestado pelo *Eurytrema fastosum* (a). Nova formação de tecido conjuntivo, infiltração lymphocytaria e hyperplasia glandular nas paredes do canal biliar. Em b, lymphoma pericanalicular encerrando estructuras glandulares. $\times 45$. Orig.

Fig. 4—Accentuada hyperplasia glandular nas paredes de canal biliar em fígado de gato doméstico infestado pelo *Erytrema fastosum*. $\times 45$. Orig.

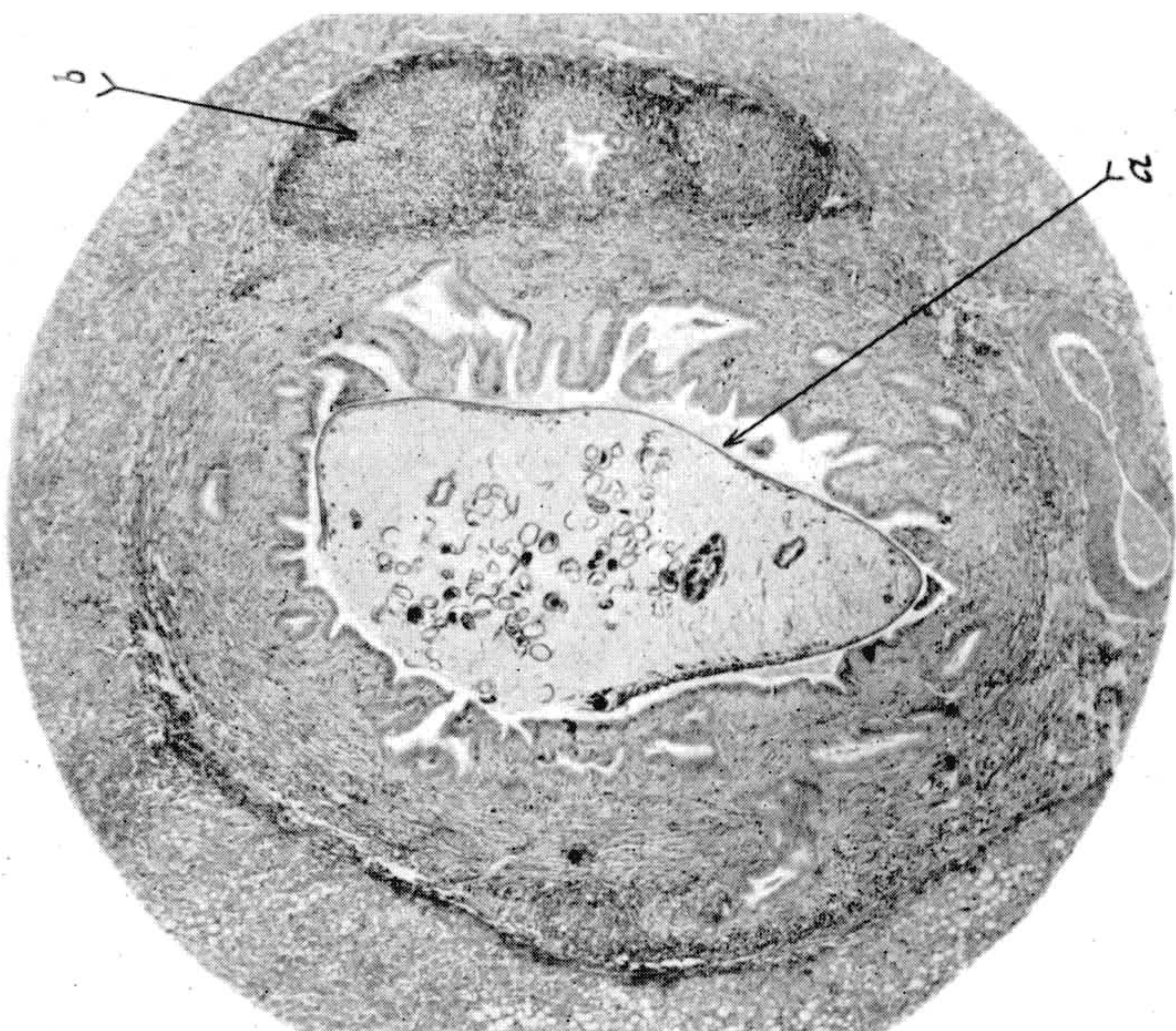


Fig. 3



Fig. 4

J. Pinto, photomicro.

Torres & Pinto: Pathogenia de *Eurytrema*.

Estampa 3

Fig. 5 — Notável espessamento das paredes e pronunciada hyperplasia glandular em canal biliar de figado de gato infestado pelo *E. fastosum*. Em *a*, nota-se que as cryptas mucosas com hyperplasia, approximam-se da parede externa do canal biliar. Em torno delas verifica-se infiltração lymphocytaria, mais accentuada em *b*, dando origem a um pequeno lymphoma. A figura ilustra o modo de formação dos lymphomas pericanaliculares. $\times 45$. Orig.

Fig. 6 — Corte de canal biliar intra-hepatico encerrando um exemplar de *E. fastosum*. Nota-se accentuada fibrose nas paredes do canal. O numero de cryptas mucosas annexas ao canal é aumentado. Espaço relativamente grande separa o helmintho das paredes do canal. $\times 65$. Orig.

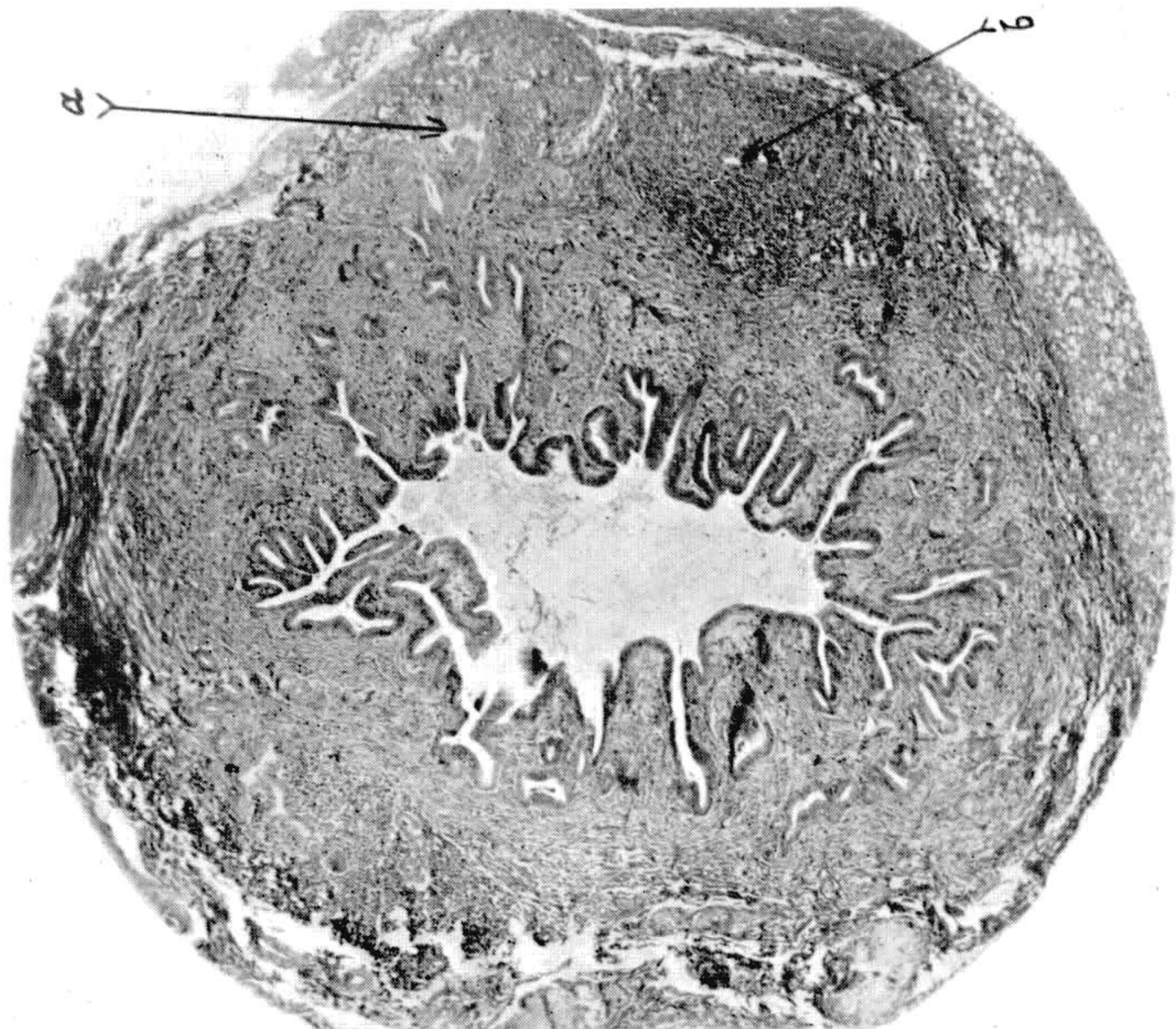


Fig. 5

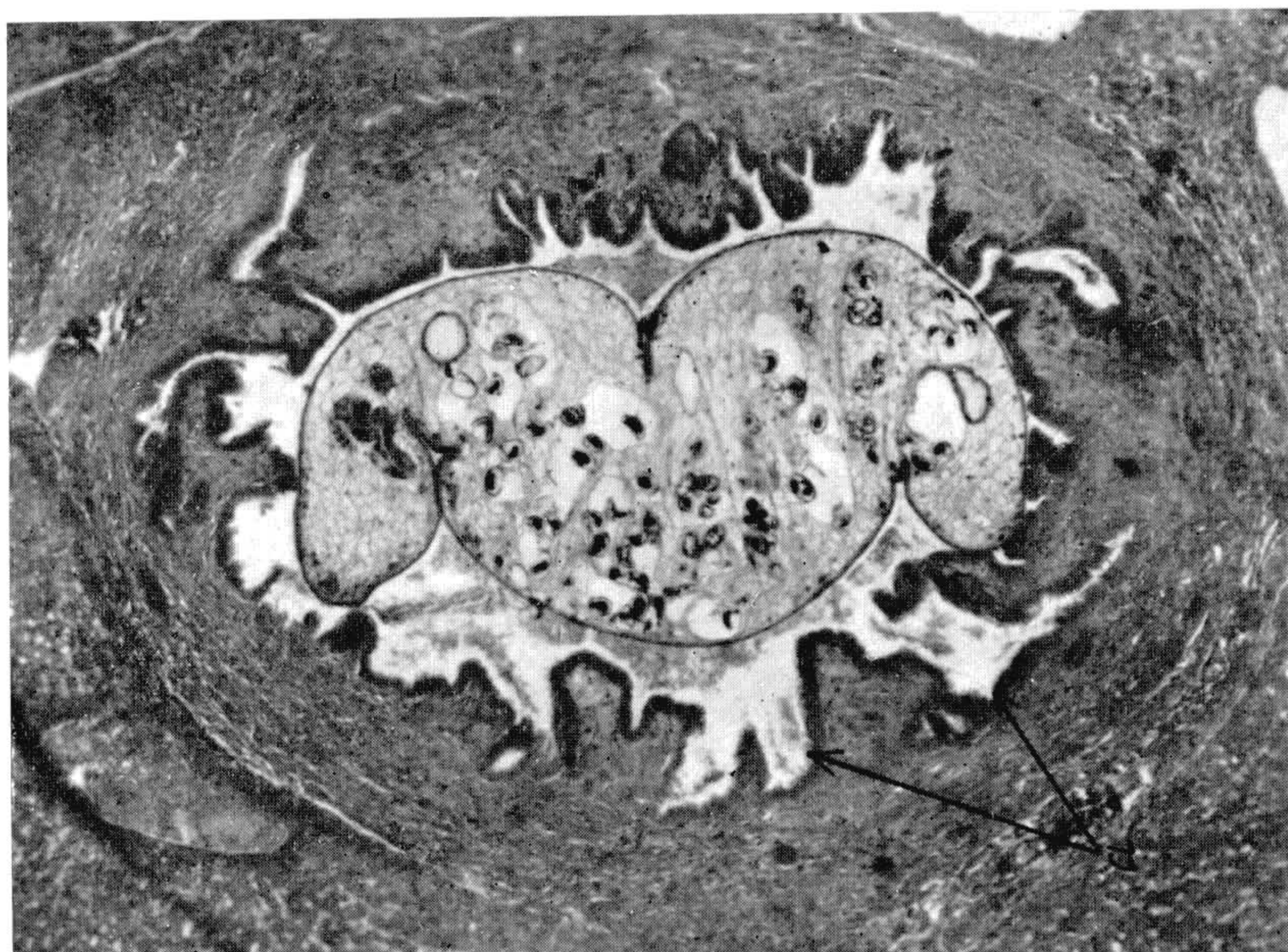


Fig. 6

J. Pinto, photomicro.

Torres & Pinto: Pathogenia de *Eurytrema*.

Estampa 4

Fig. 7.—Espaço-porta em figado de gato infestado pelo *E. fastosum*. Nota-se espessamento fibroso e hyperplasia glandular nas paredes do canal biliar. Em *b*, vê-se um nódulo inflammatorio cuja parte central é ocupada por formações glandulares e cuja porção peripherica é formada por tecido conjuntivo com pronunciada infiltração lymphocytaria. $\times 50$. Orig.

Fig. 8.—Ponto marcado pela flecha *b* na figura 7, visto com maior aumento. Lymphoma pericanalicular encerrando formações glandulares. $\times 225$. Orig.



Fig. 7

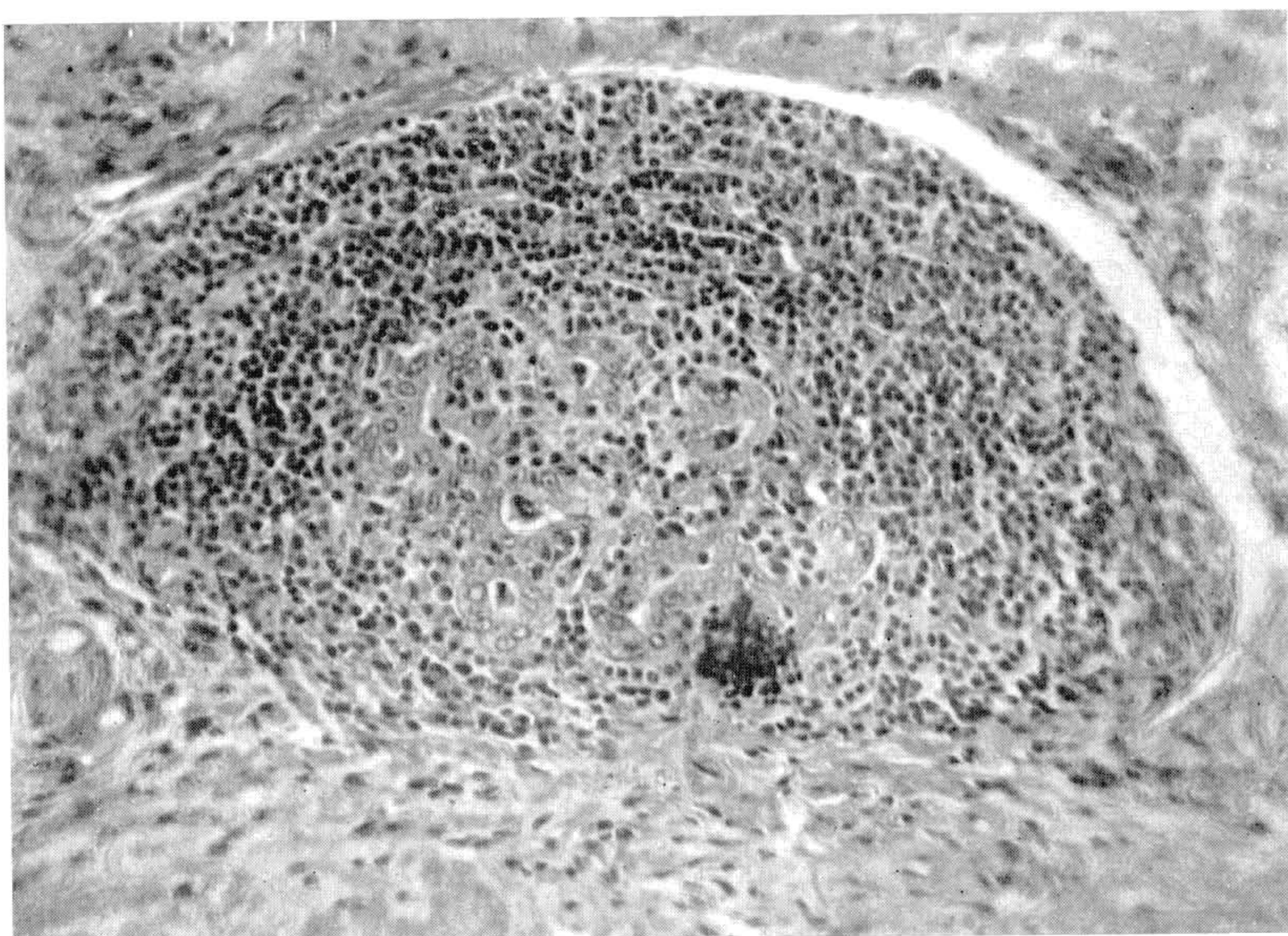


Fig. 8

J. Pinto, photomicro.

Estampa 5

Fig. 9 — Espaço-porta em corte de figado de gato normal. A crypta mucosa representada em *a* approxima-se da parede externa do canal biliar. $\times 320$. Orig.

Fig. 10 — Espaço-porta em corte de figado de gato normal. Em *a*, canal biliar interlobular. Em *b*, crypta mucosa. $\times 320$. Orig.

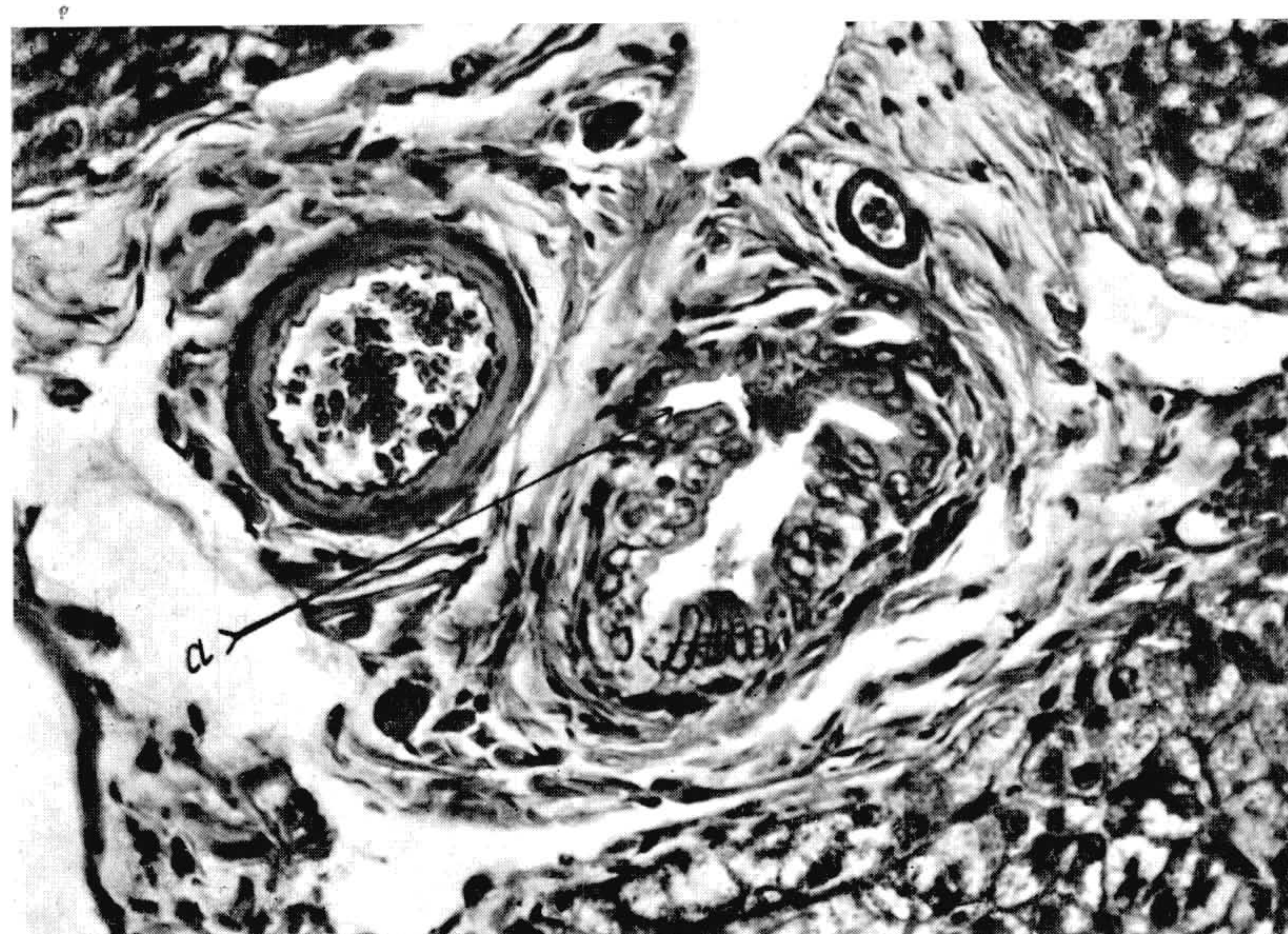


Fig. 9

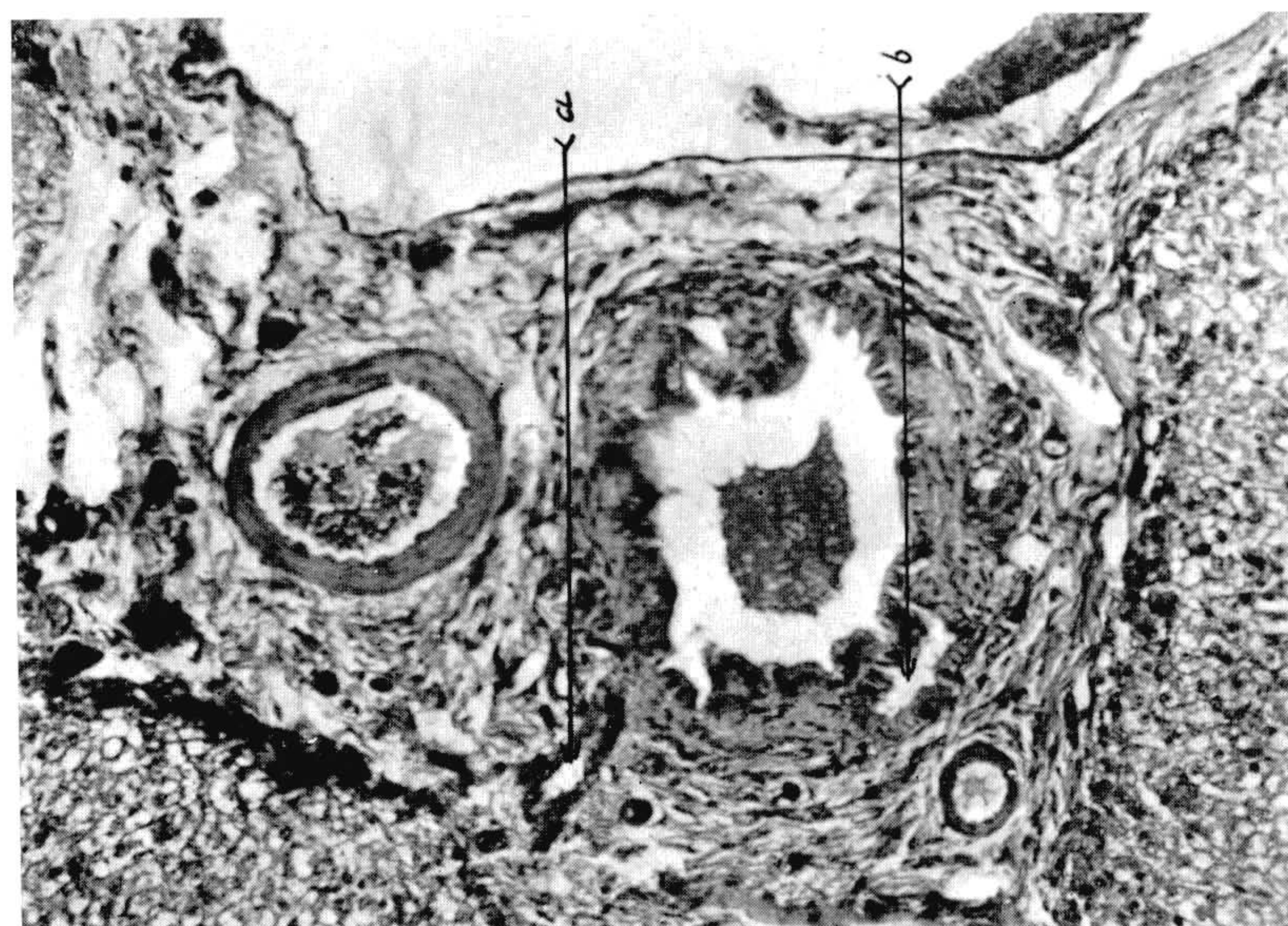


Fig. 10

J. Pinto, photomicro.

Torres & Pinto: Pathogenia de *Eurytrema*.

Estampa 6

Fig. 11 — Corte de pancreas de boi infestado pelo *Eurytrema coelomaticum*. O canal pancreatico superior (a) encerra um exemplar do helminho e o canal inferior (b) contem ovos do parasito. Em torno dessas estruturas existe accentuada reacção inflamatoria traduzida por fócos de infiltração mononuclear, proliferação de tecido conjuntivo e desapparecimento do parenchyma da glandula. O canal pancreatico (a) é revestido por epithelio achatado. A cavidade do canal inferior (b) apresenta diverticulos revestidos por epithelio cubico. Alguns desses diverticulos aparecem isolados da cavidade principal e contêm ovos do helminho. $\times 90$. Orig.

Fig. 12 — Pancreas de boi infestado pelo *E. coelomaticum*. Pancreatite intersticial chronica compromettendo grande extensão de um lóbulo pancreatico. Na zona onde a fibrose é mais intensa, nota-se desapparecimento de acini glandulares e de ilhotas de Langerhans. $\times 63$. Orig.



Fig. 11

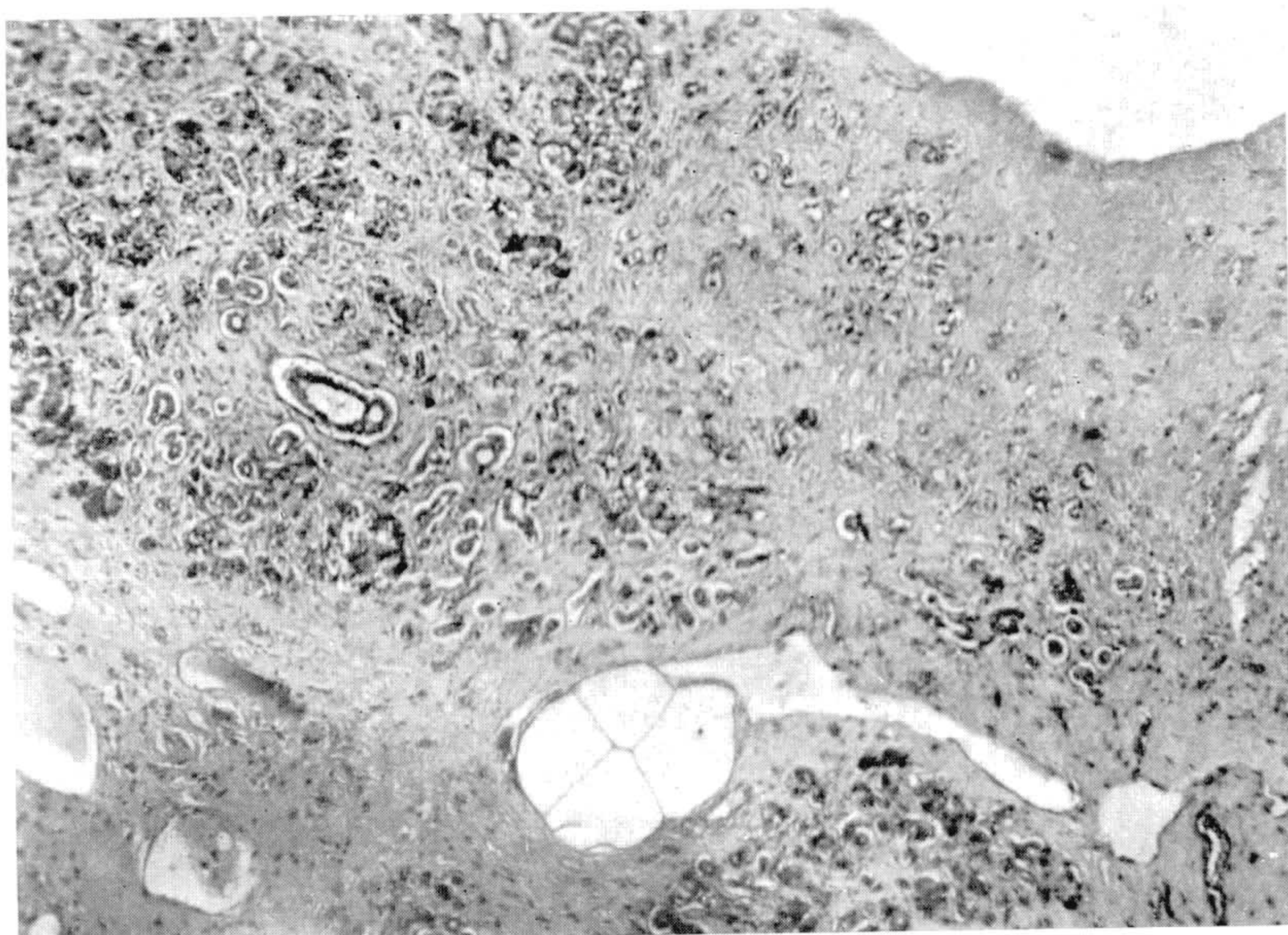


Fig. 12

J. Pinto, photomicr.

Estampa 7

Fig. 13 — Corte de pancreas de boi mostrando o *E. coelomaticum* no interior de canal pancreatico. Vê-se tecidos das paredes do canal contidos no acetabulo (a) do helmintho. Pronunciada infiltração mononuclear e fibrose das paredes do canal. $\times 90$. Orig.

Fig. 14 — Corte de canal pancreatico em pancreas de boi parasitado pelo *E. coelomaticum*. As paredes do canal são consideravelmente espessadas, infiltradas por lymphocytos e a cavidade relativamente diminuida em consequencia de um processo inflamatorio chronico (granuloma inflamatorio). Na porção mais interna da parede do canal, o exsudado inflamatorio é constituido, quasi exclusivamente, por cellulas epithelioides dispostas em palissada (a) no meio das quaes aparecem ovos do helmintho (b). $\times 100$. Orig.

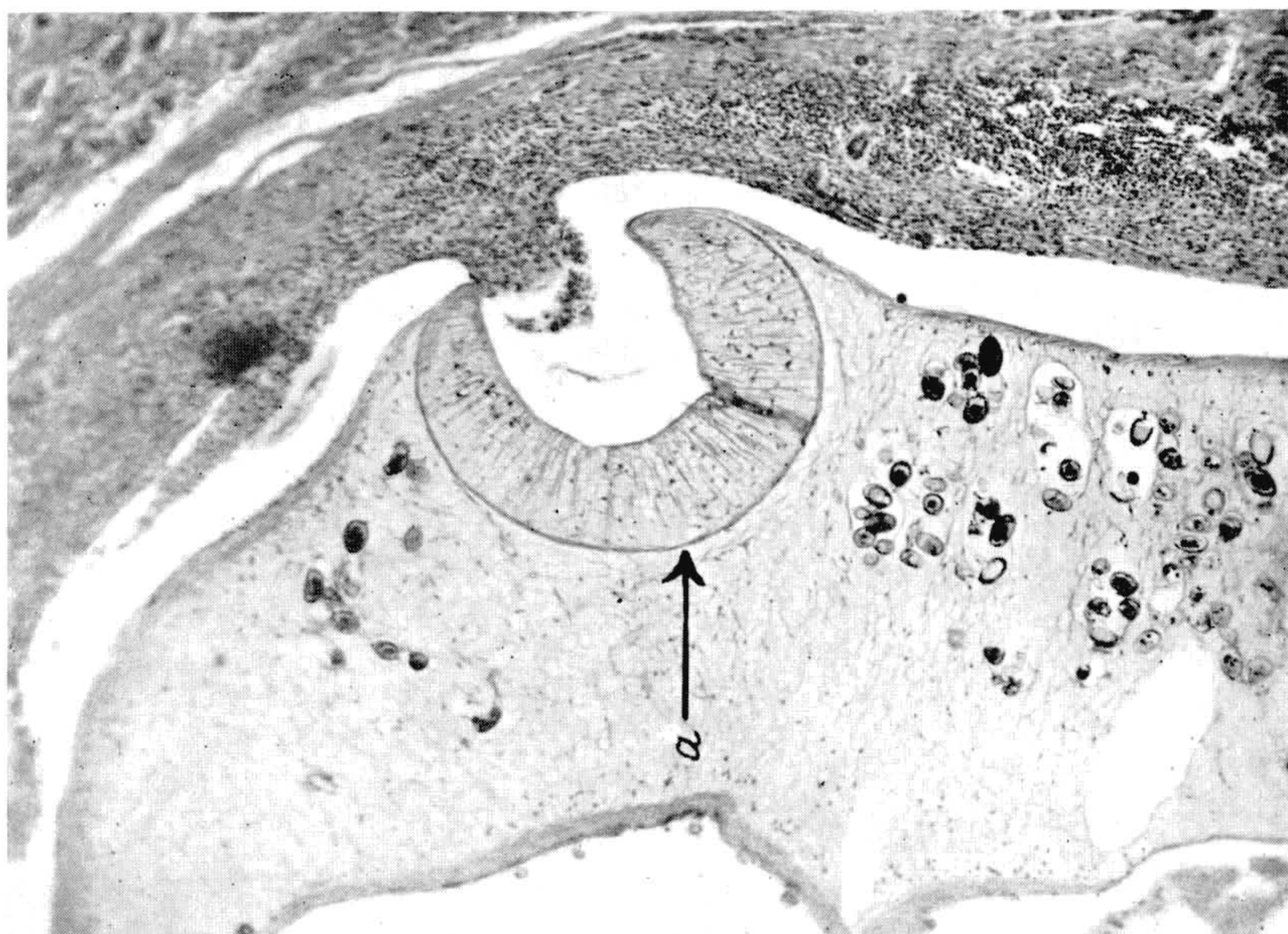


Fig. 13

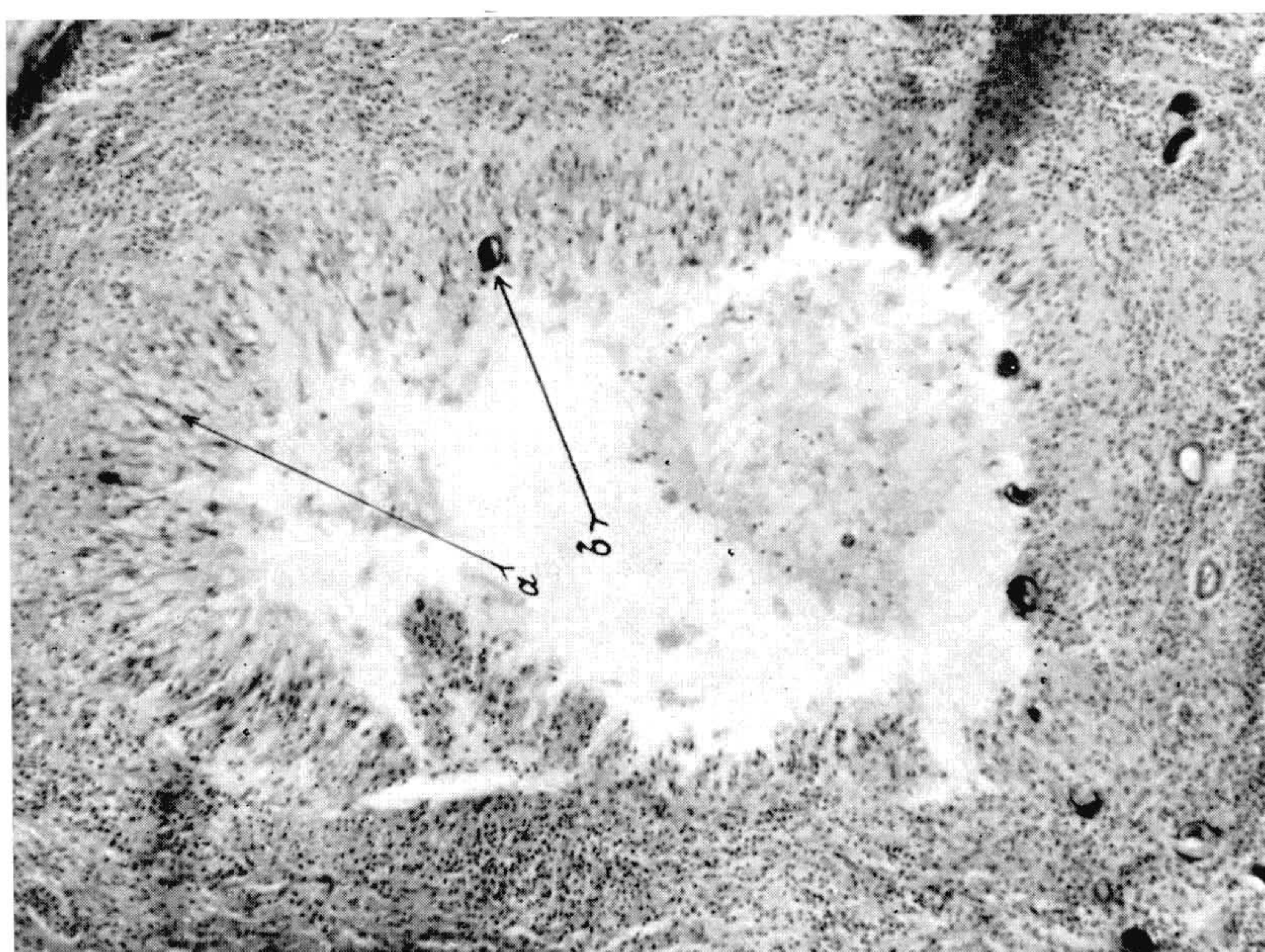


Fig. 14

J. Pinto, photomicro.

Estampa 8

Fig. 15—Corte de pancreas de boi parasitado pelo *E. coelomaticum*. Paredes espessadas de um canal pancreatico encerrando ovos do helmintho na sua luz (b) e na espessura das paredes (a). Nota-se grande diminuição da luz do canal e a curiosa disposição em palissada das celulas epithelioides na porção mais interna do canal. $\times 100$. Orig.

Fig. 16—Corte de pancreas de boi parasitado por *E. coelomaticum*. A cavidade do canal é praticamente obliterada por um granuloma inflamatorio no qual as cellulas epithelioides (a) constituem elemento dominante. Na sua vizinhança immediata aparecem numerosos ovos (b) apparentemente livres no tecido inflamatorio. Em torno dos ovos existe infiltração mononuclear. $\times 90$. Orig.

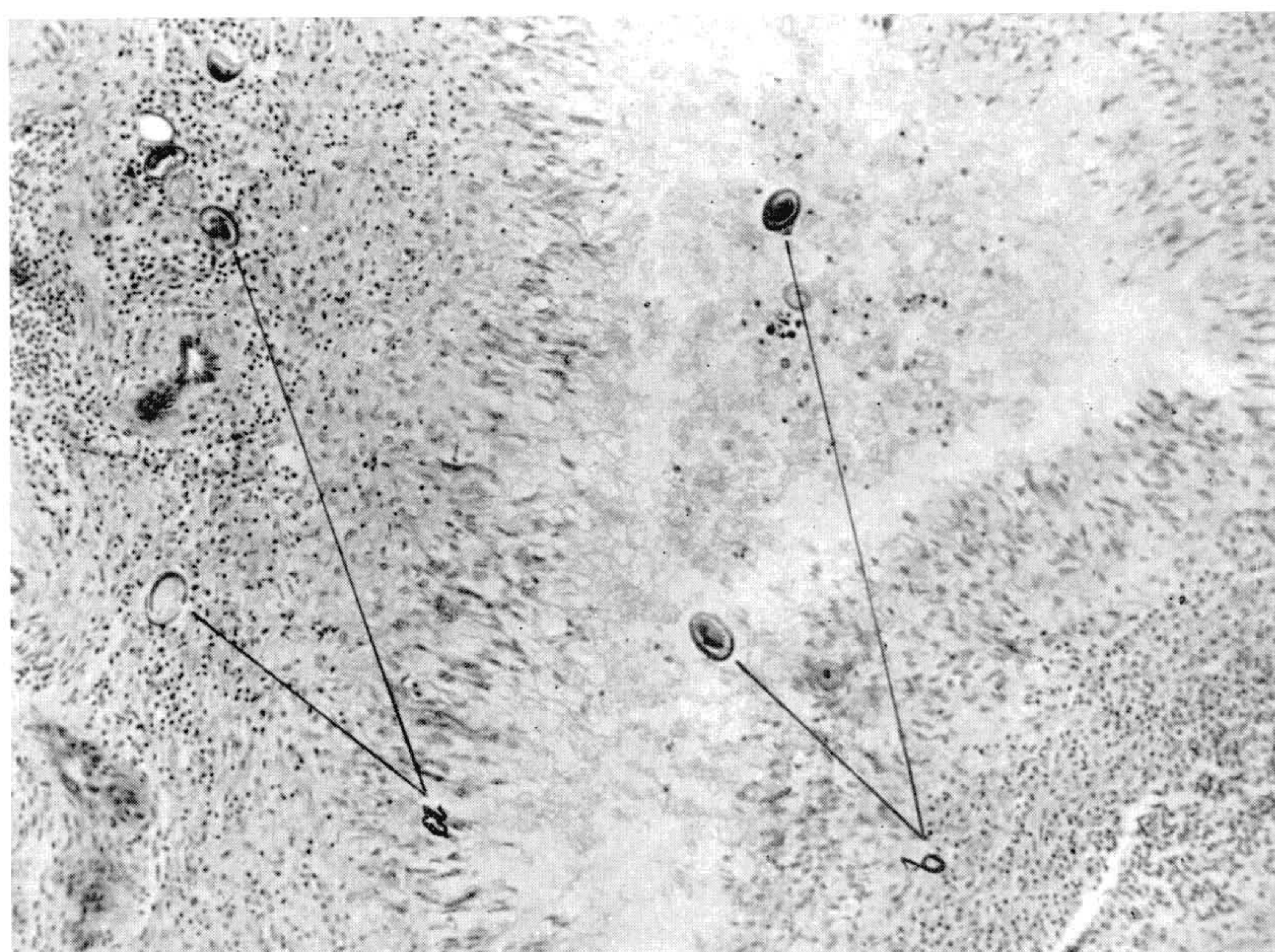


Fig. 15

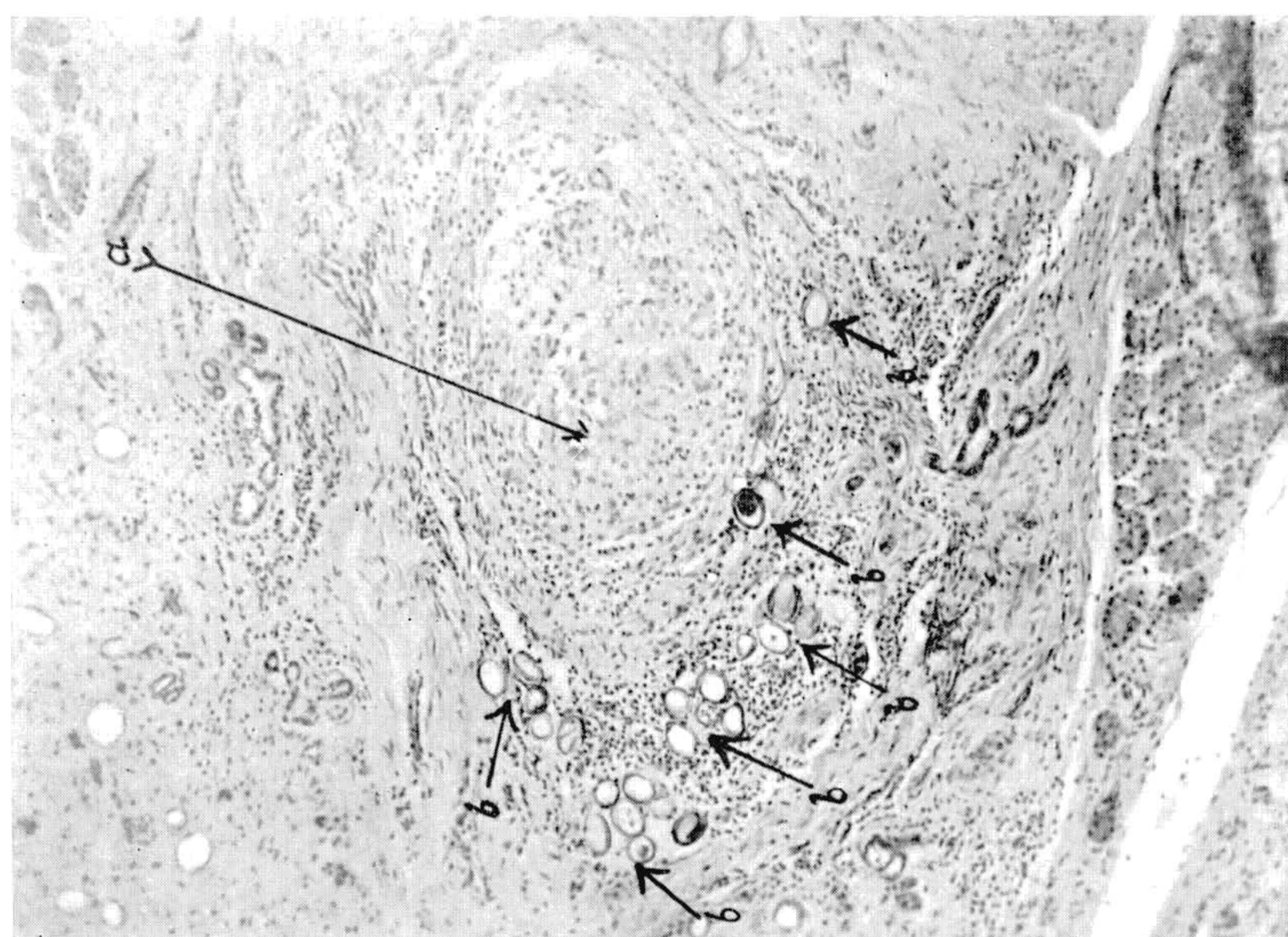


Fig. 16

J. Pinto, photomicro.

Estampa 9

Fig. 17 — Canal pancreatico de boi, encerrando *E. coelomaticum*. No espaço que separa o helmintho das paredes inflammadas do canal, vê-se ovos (a) e exsudato purulento (b). $\times 70$. Orig.

Fig. 18 — *Eurytrema coelomaticum* no interior de um canal pancreatico de boi. Notar o espaço relativamente estreito que o separa das paredes do canal, bem como a ausencia de epithelio de revestimento nas paredes do canal, o enclausuramento de ovos do helmintho (indicados pelas setas) e accentuada reacção inflammatoria das paredes (infiltração mononuclear e proliferação conjunctiva). $\times 65$. Orig.



Fig. 17

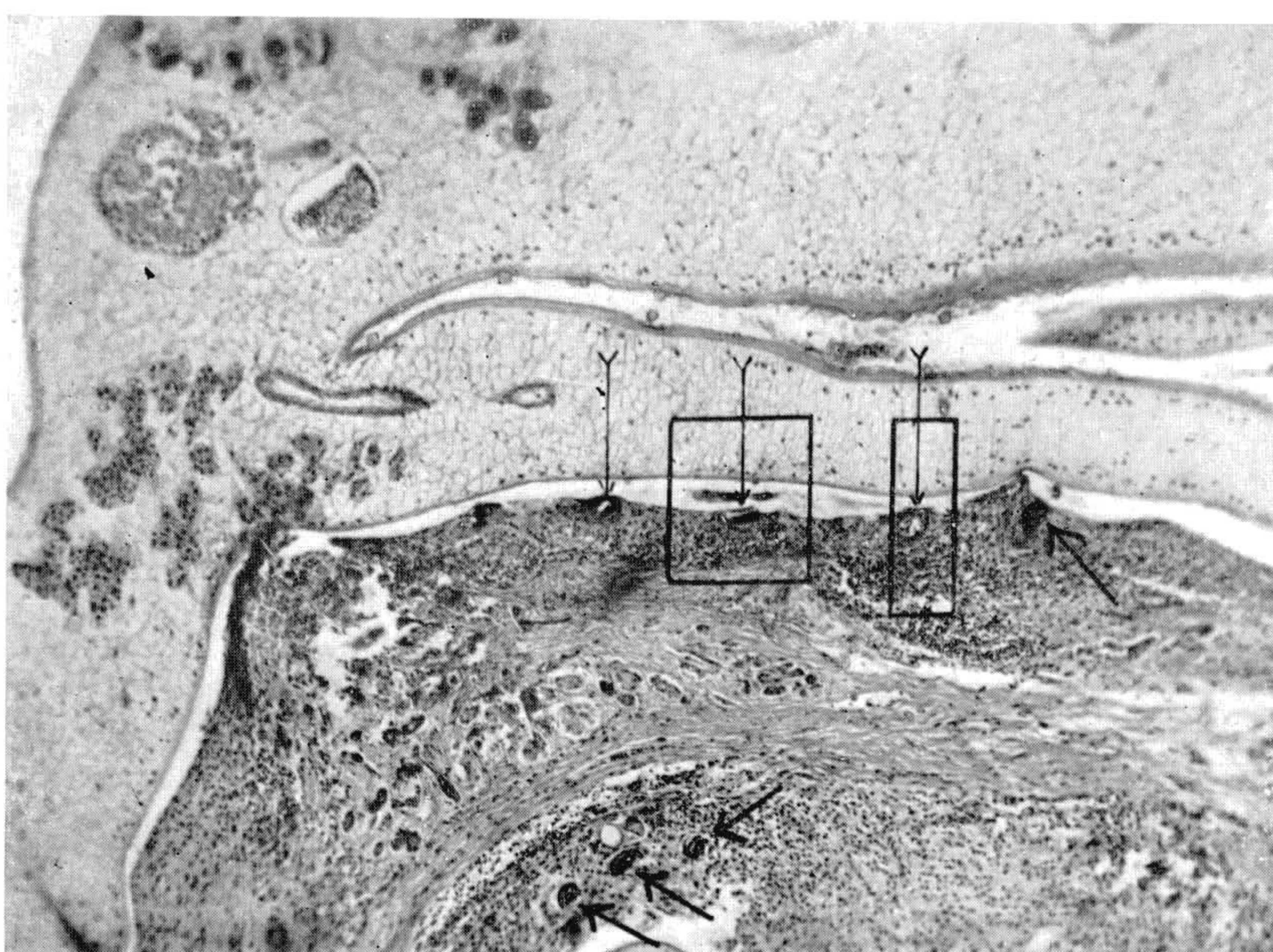


Fig. 18

J. Pinto, photomicr.

Torres & Pinto: Pathogenia de *Eurytrema*.

Estampa 10

Fig. 19— Detalhes do processo de enclausuramento dos ovos de *E. coelomaticum* (ampliação dos pontos marcados na figura 18) nos tecidos do pancreas de boi. Em a, o ovo superficialmente collocado, faz saliencia na luz do canal. Em b, o ovo situado proximo da superficie, é envolvido por tecido inflammatorio. $\times 250$. Orig.

Fig. 20— Ovos de *E. coelomaticum*, enclausurados em pleno parenchyma do pancreas do boi, dão logar a accentuada infiltração lymphocytaria e leve fibrose. $\times 108$. Orig.

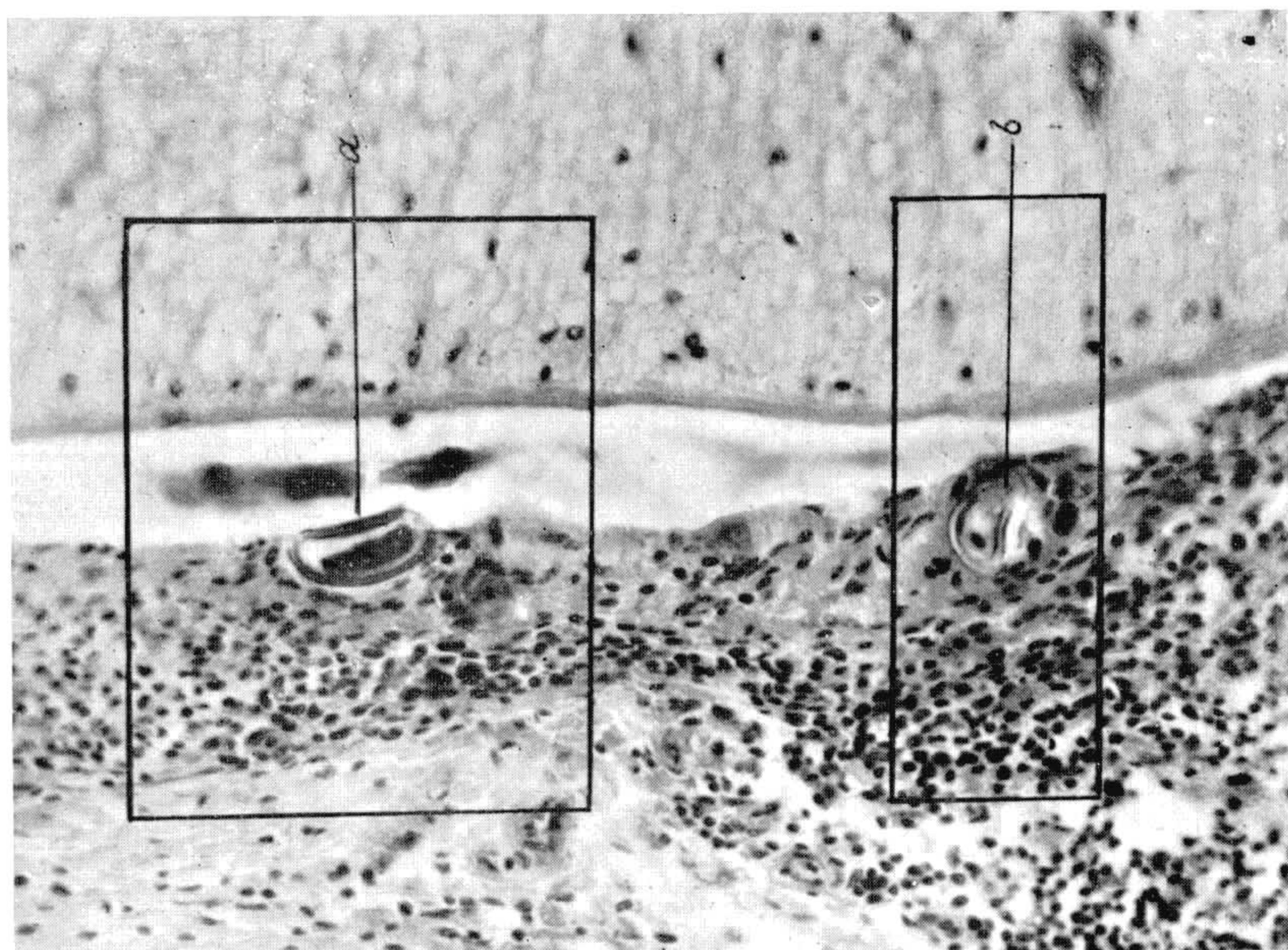


Fig. 19

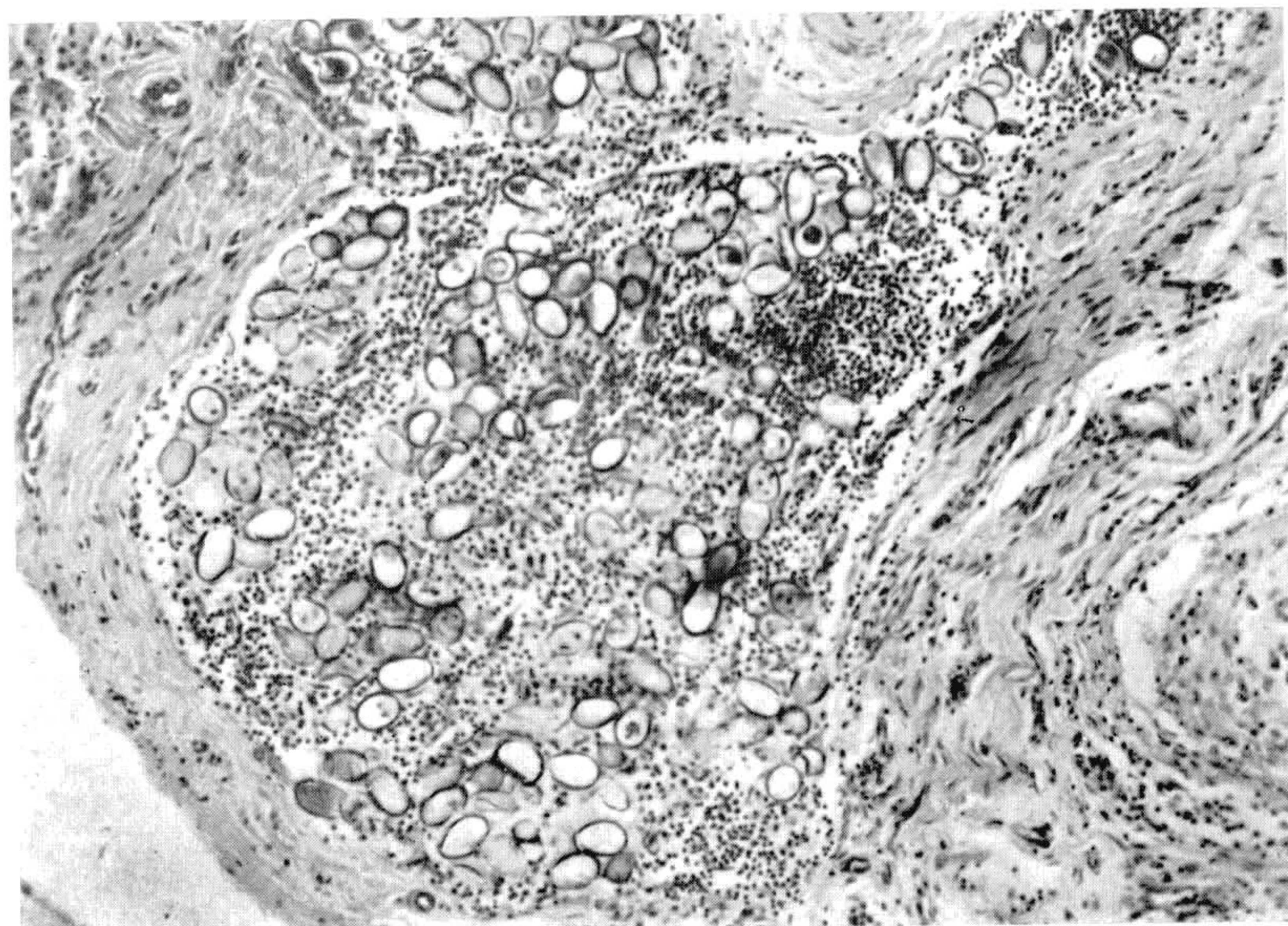


Fig. 20

J. Pinto, photomicro.

Estampa 11

Figs. 21 e 22 — Ovos de *E. fastosum* aumentados 150 e 710 diametros, respectivamente. Orig.

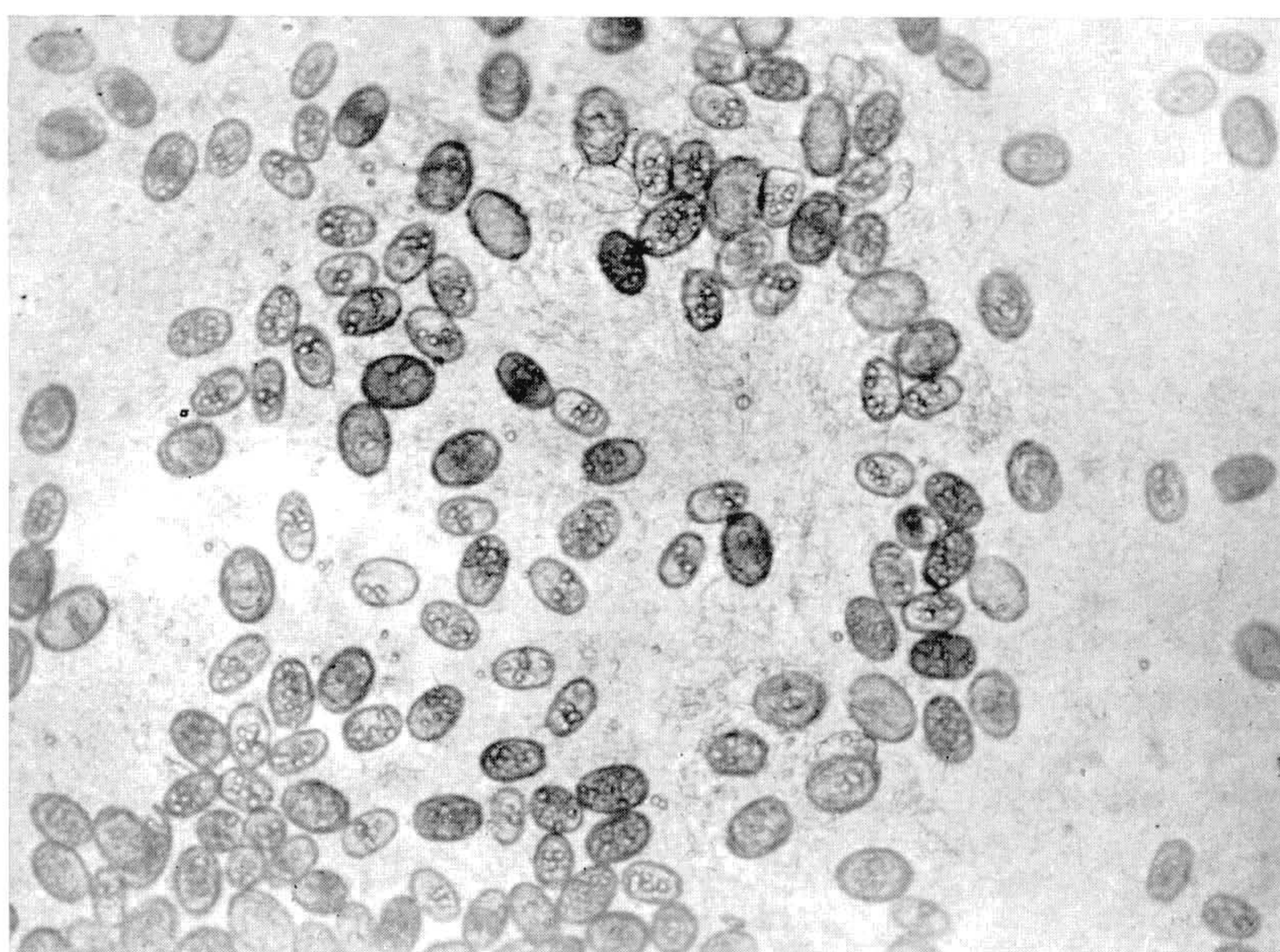


Fig. 21

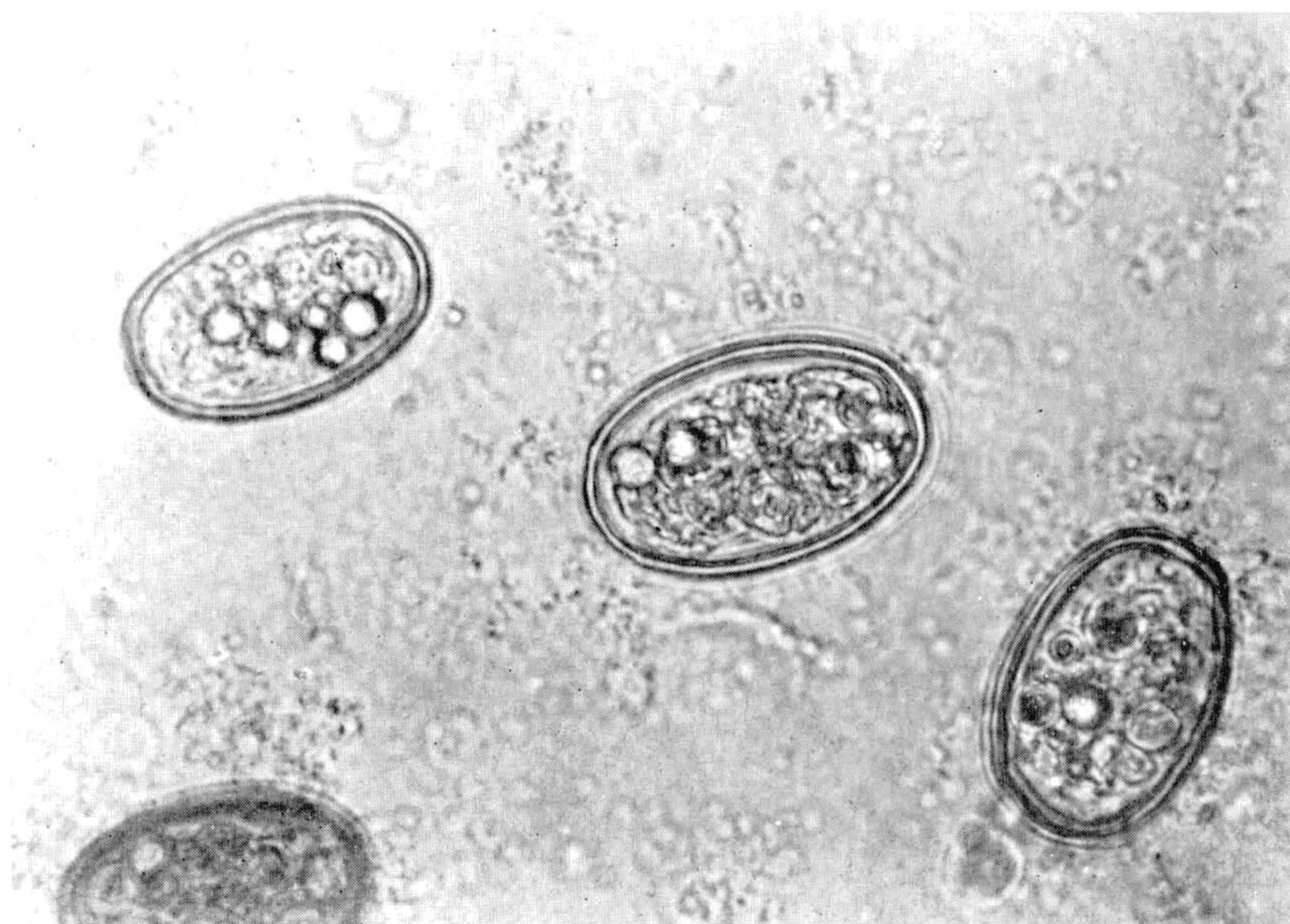


Fig. 22

J. Pinto, photomicro.

Torres & Pinto: Pathogenia de *Eurytrema*.

Estampa 12

Fig. 23 — Corte de figado de gato. Cystoma multilocular congenito. $\times 10$. Orig.
Fig. 24 — Pancreas de boi infestado por *Eurytrema coelomaticum*. As lesões macroscópicas parecem circumscripas aos canais interlobulares (a) cujas paredes são espessadas. Tamanho natural. Orig.

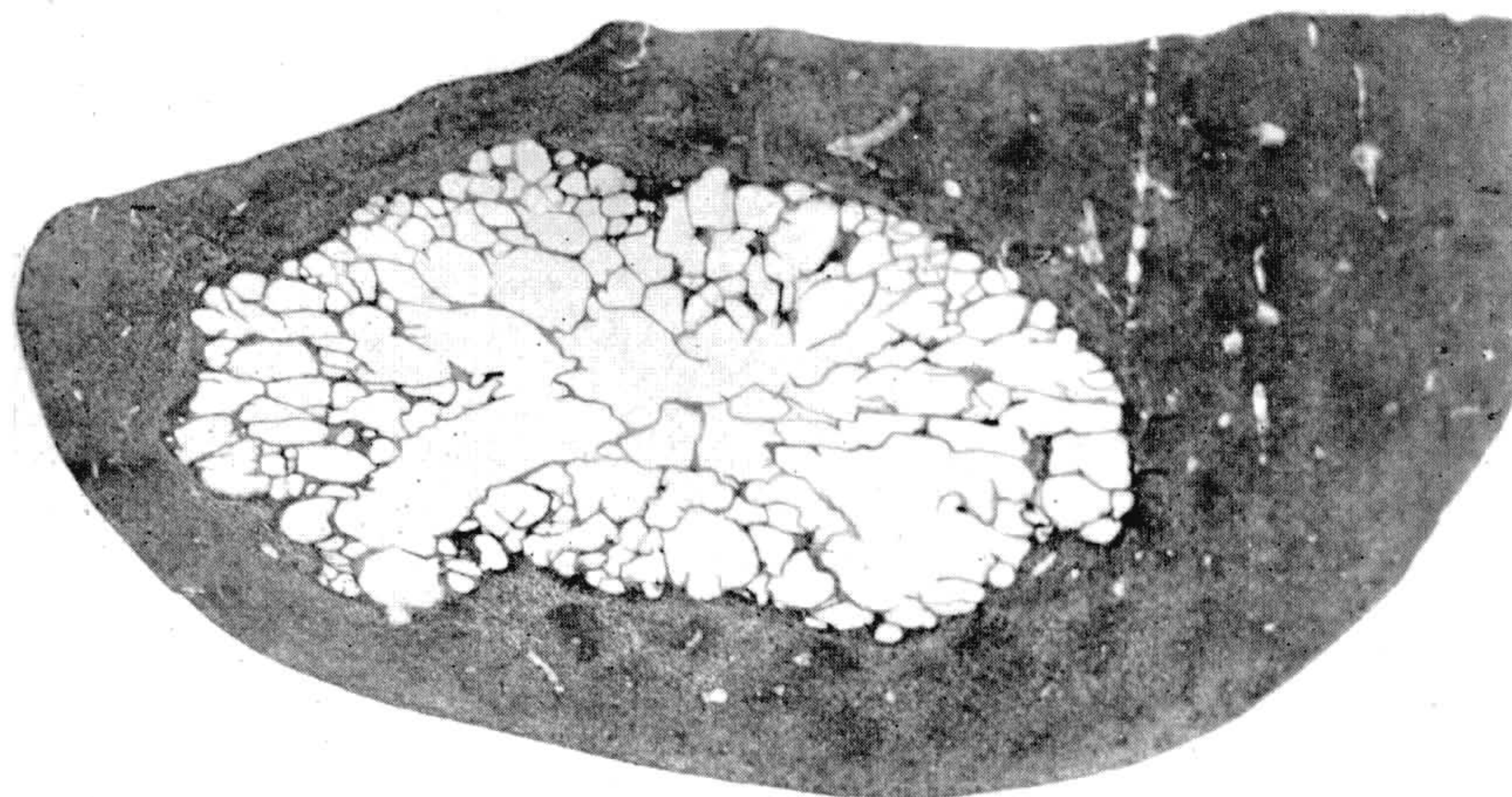


Fig. 23

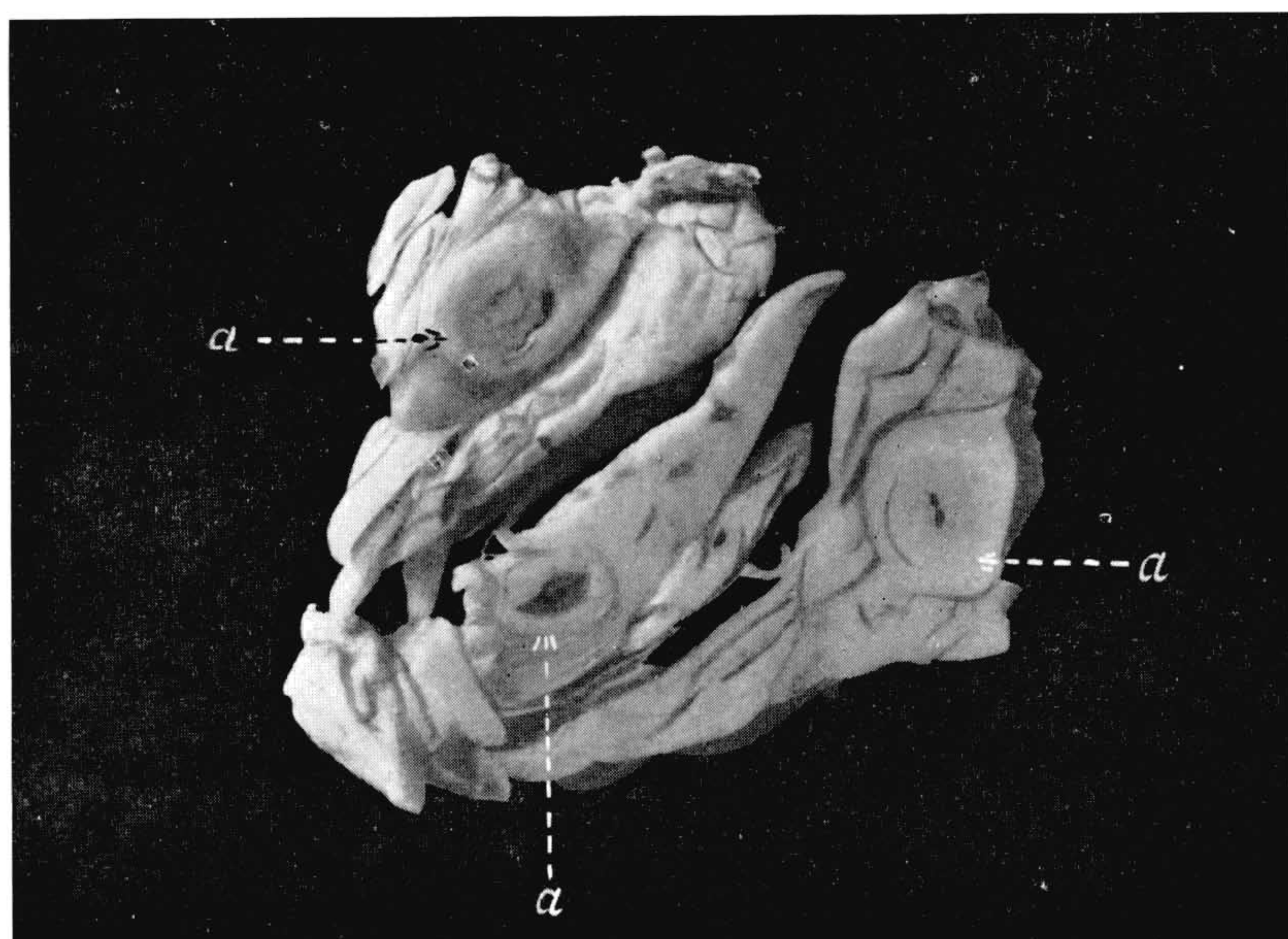


Fig. 24

J. Pinto, photomicro.

Torres & Pinto: Pathogenia de *Eurytrema*.